



laboratoire pierre aigrain
électronique et photonique quantiques



À quoi peut servir le graphène en électronique ?

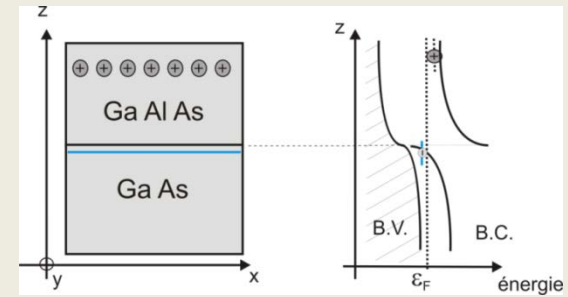
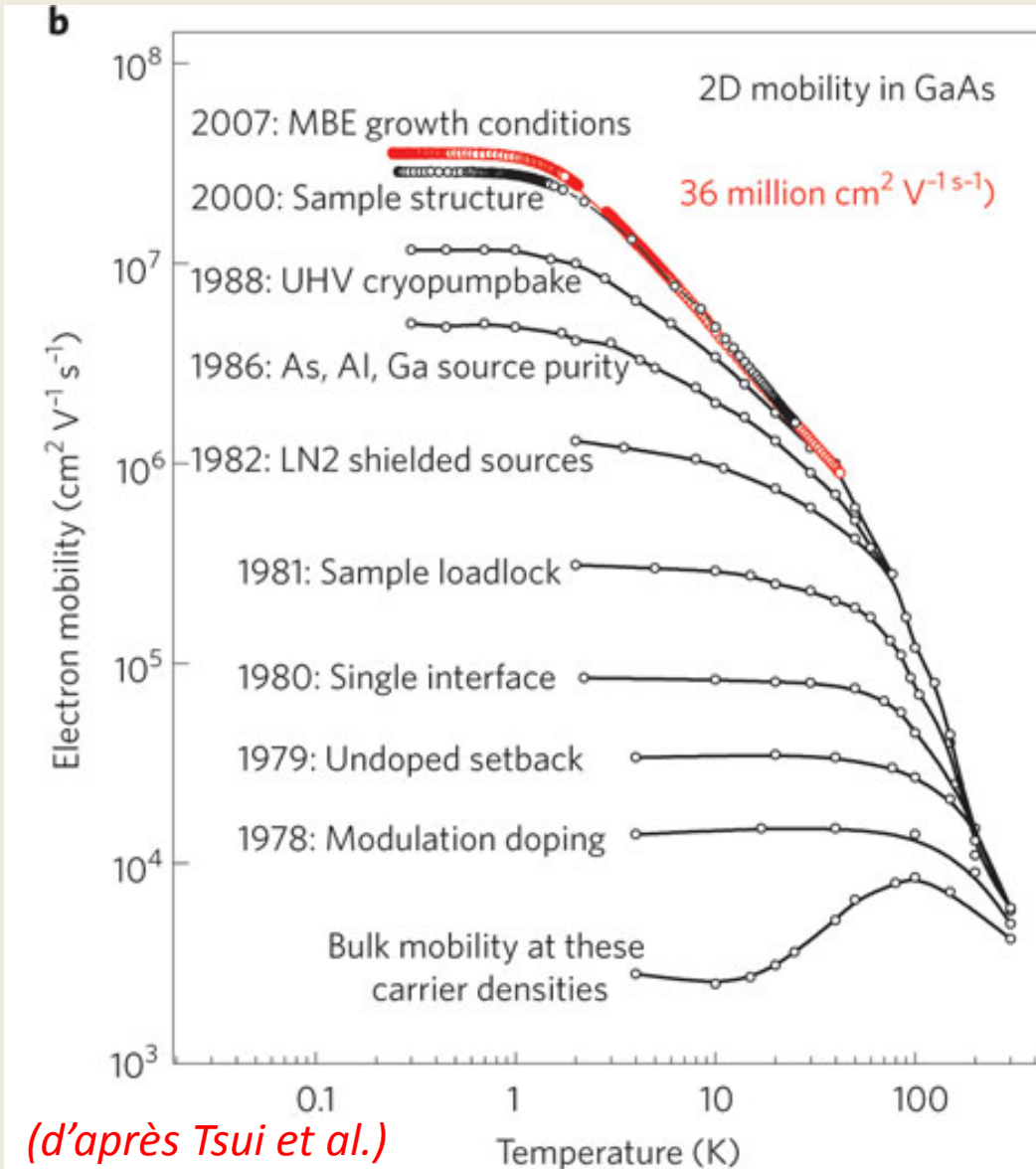
Bernard Plaçais

Laboratoire Pierre Aigrain, Ecole Normale Supérieure-PSL Research University, CNRS, Université Pierre et Marie Curie-Sorbonne Universités, Université Paris Diderot-Sorbonne Paris Cité,

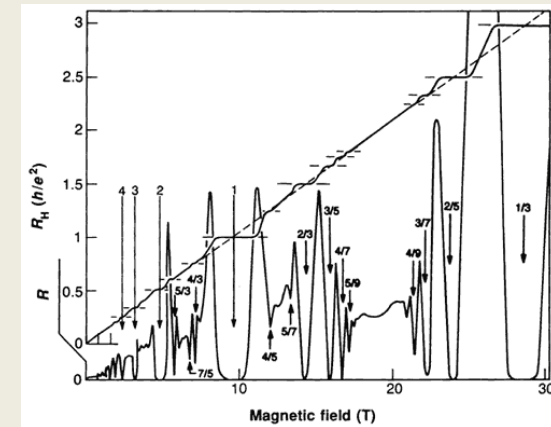
www.lpa.ens.fr



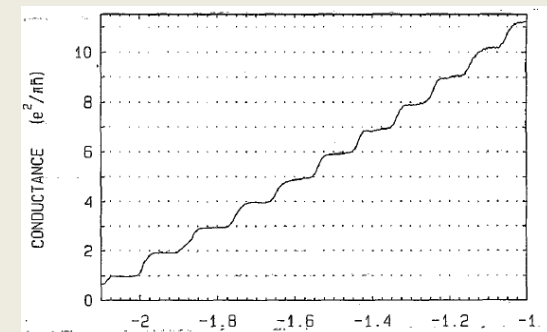
Mobilité : $\mu = v_d / E$



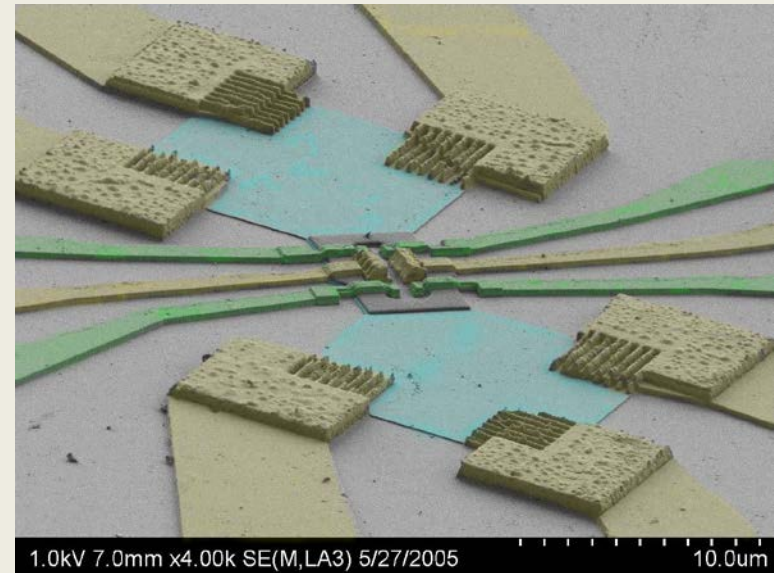
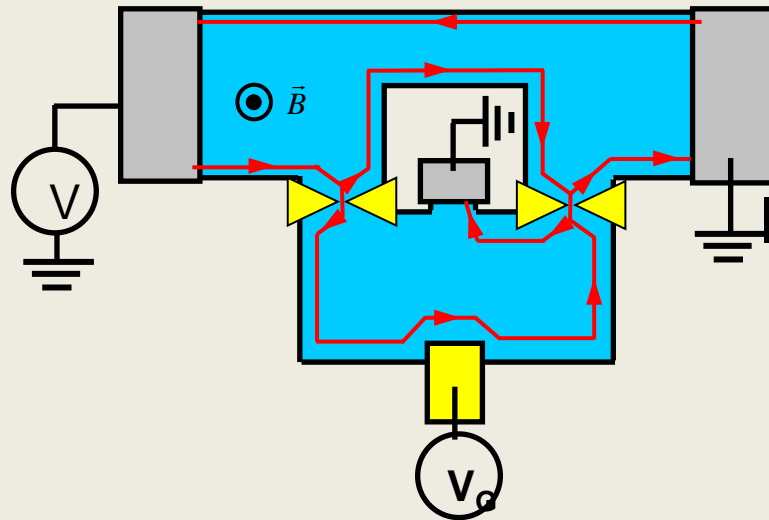
Effet Hall quantique 1980, 1982



Quantum de conductance 1988

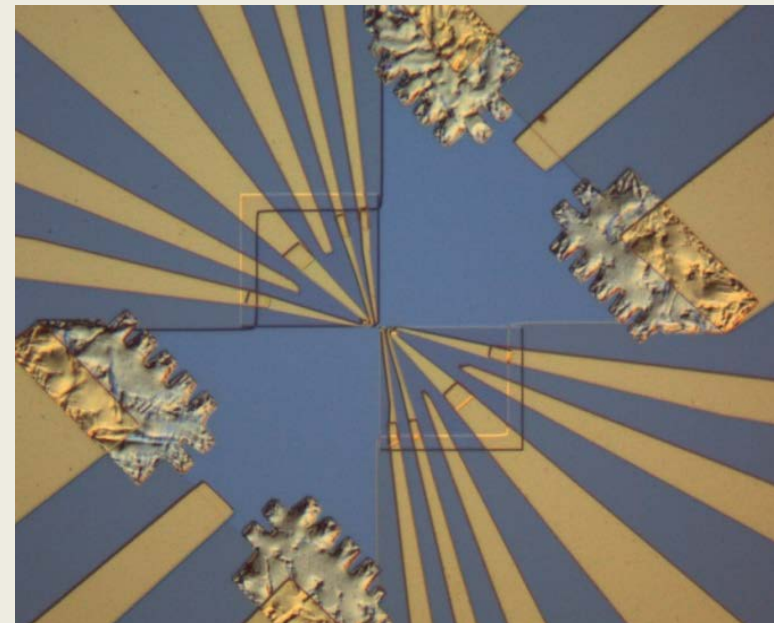
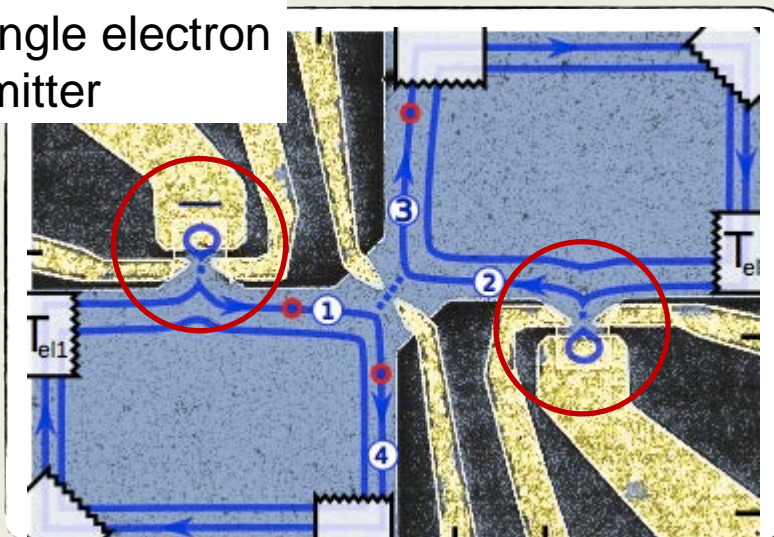


Interféromètres électroniques (2004)

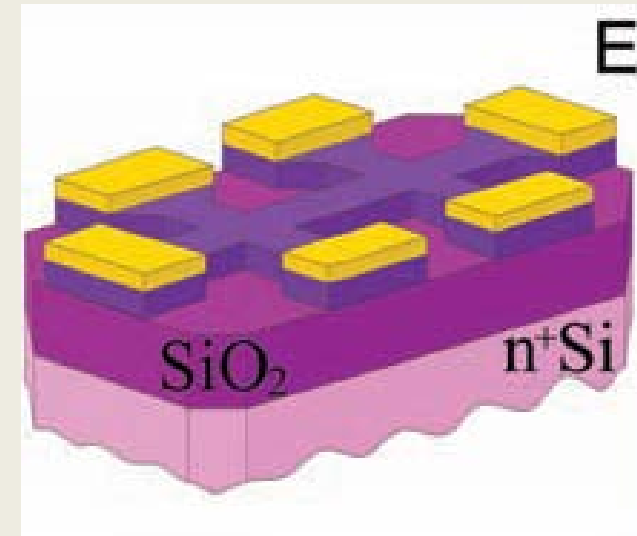
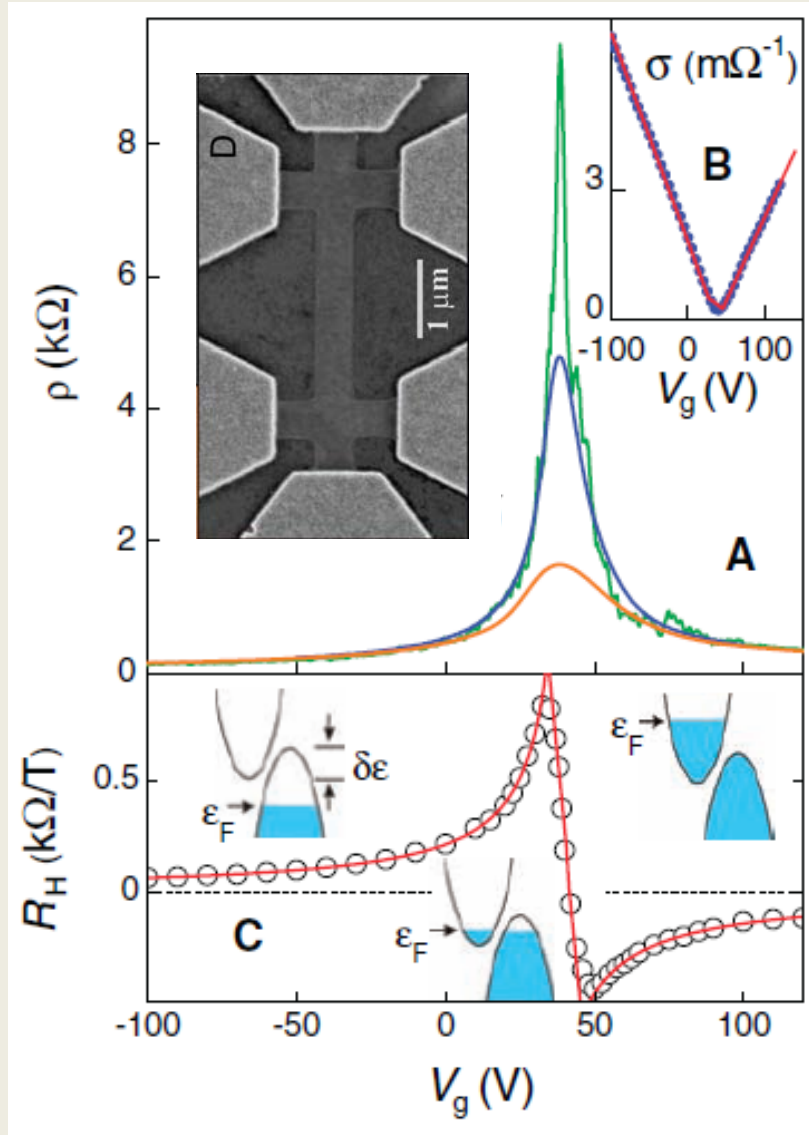


Collisionneurs à électrons uniques (2013)

Single electron emitter



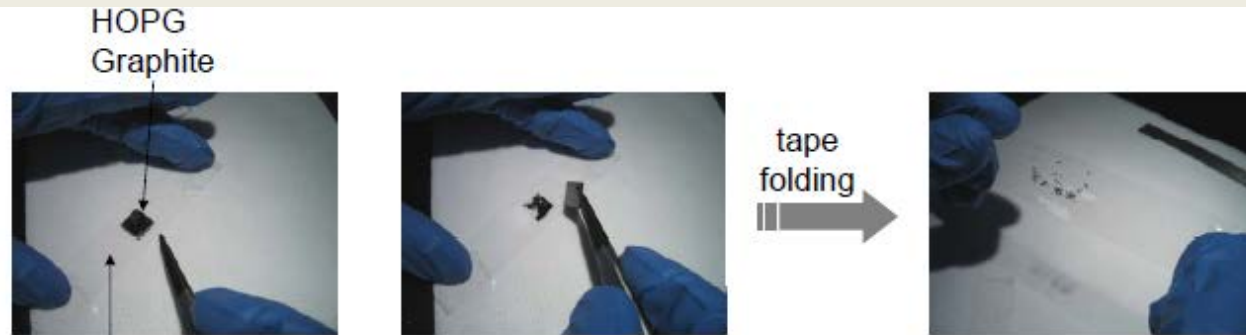
$$\rho^{-1} = ne\mu \quad ; \quad R_H = B/ne$$



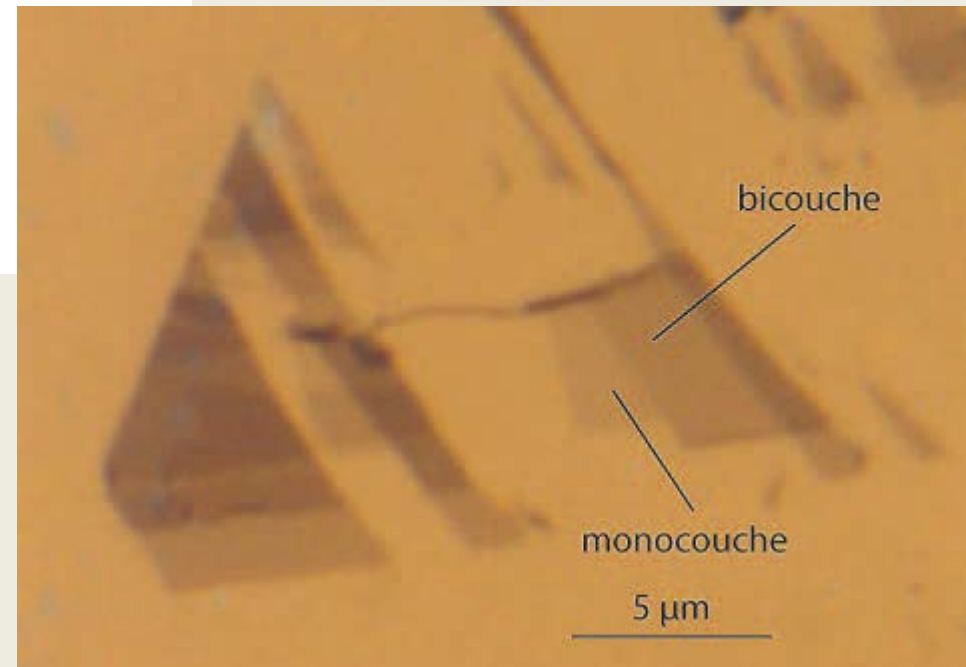
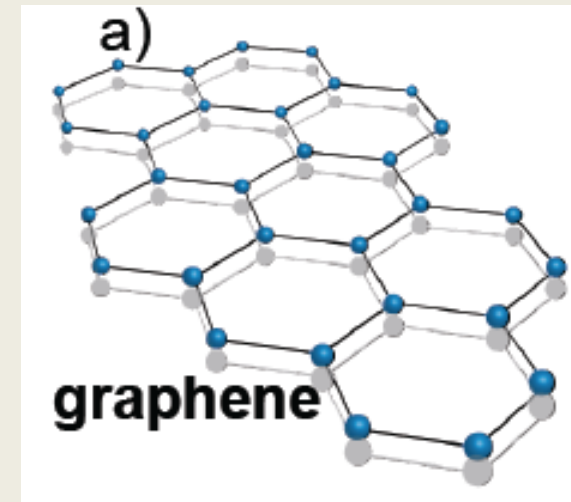
(Novoselov et al., Science 2004)

- Le graphène et les autres matériaux 2D
- Les cristaux 2D et leurs substrat
- Propriétés étranges des électrons de Dirac
- À quoi peut servir le graphène en électronique ?

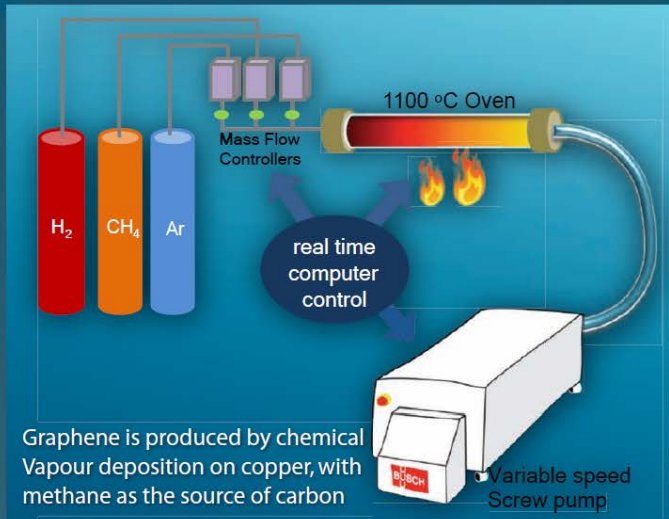
Exfoliation des cristaux de graphène



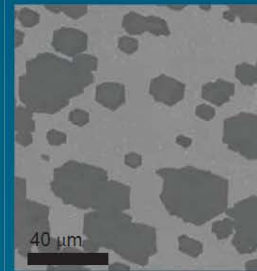
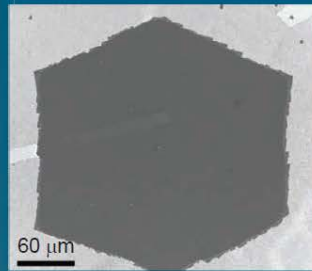
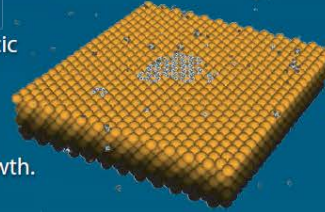
3M Scotch
MultiTask
Gloss finish



1. Catalytic CVD growth of Graphene



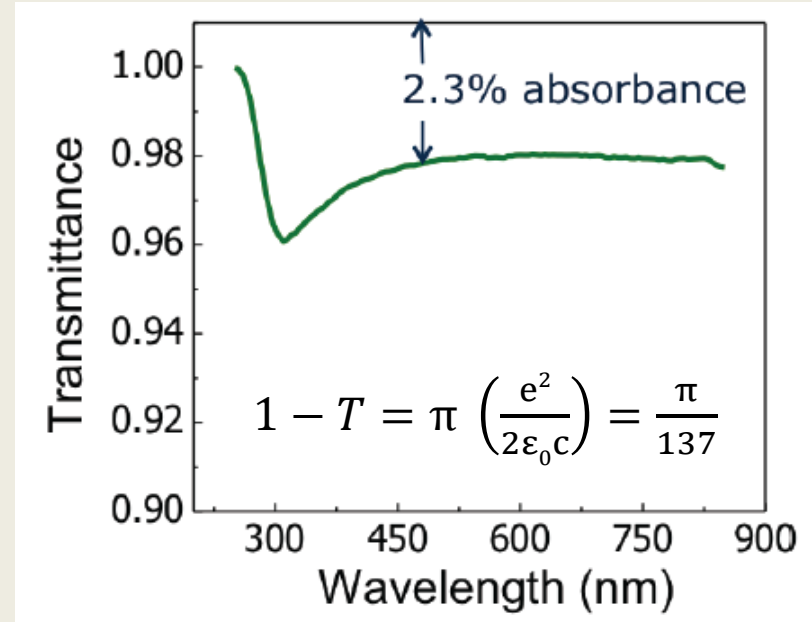
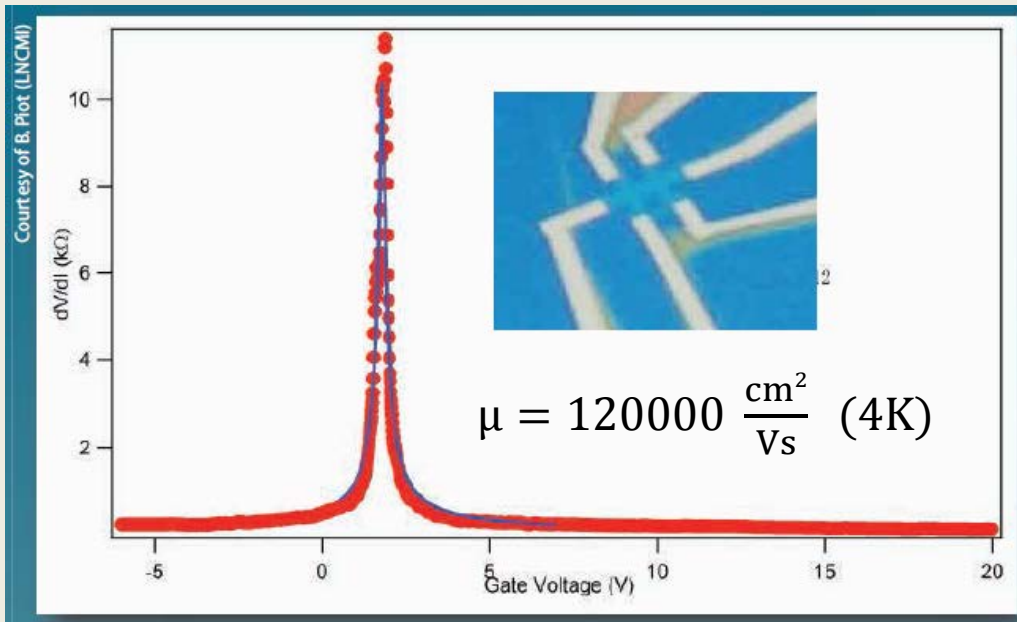
Catalytic effect lead to surfacic growth. Due to insolubility of carbon in copper, no carbon penetrates the bulk, leading to pure 2D growth.

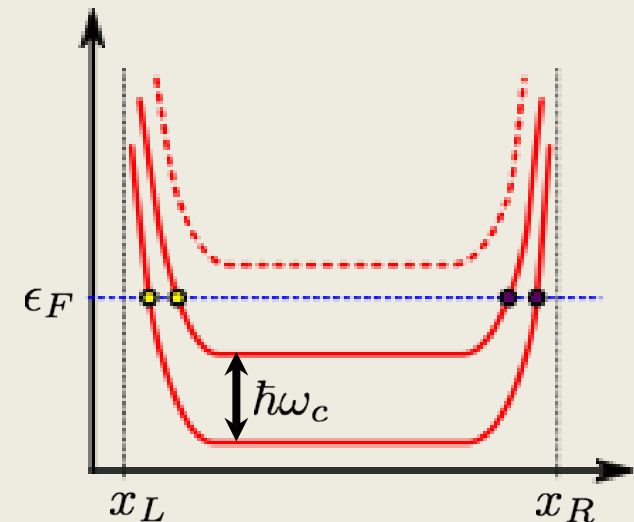
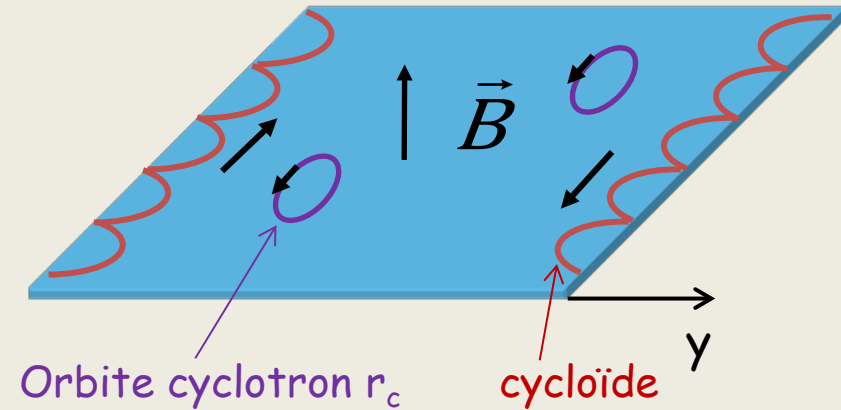
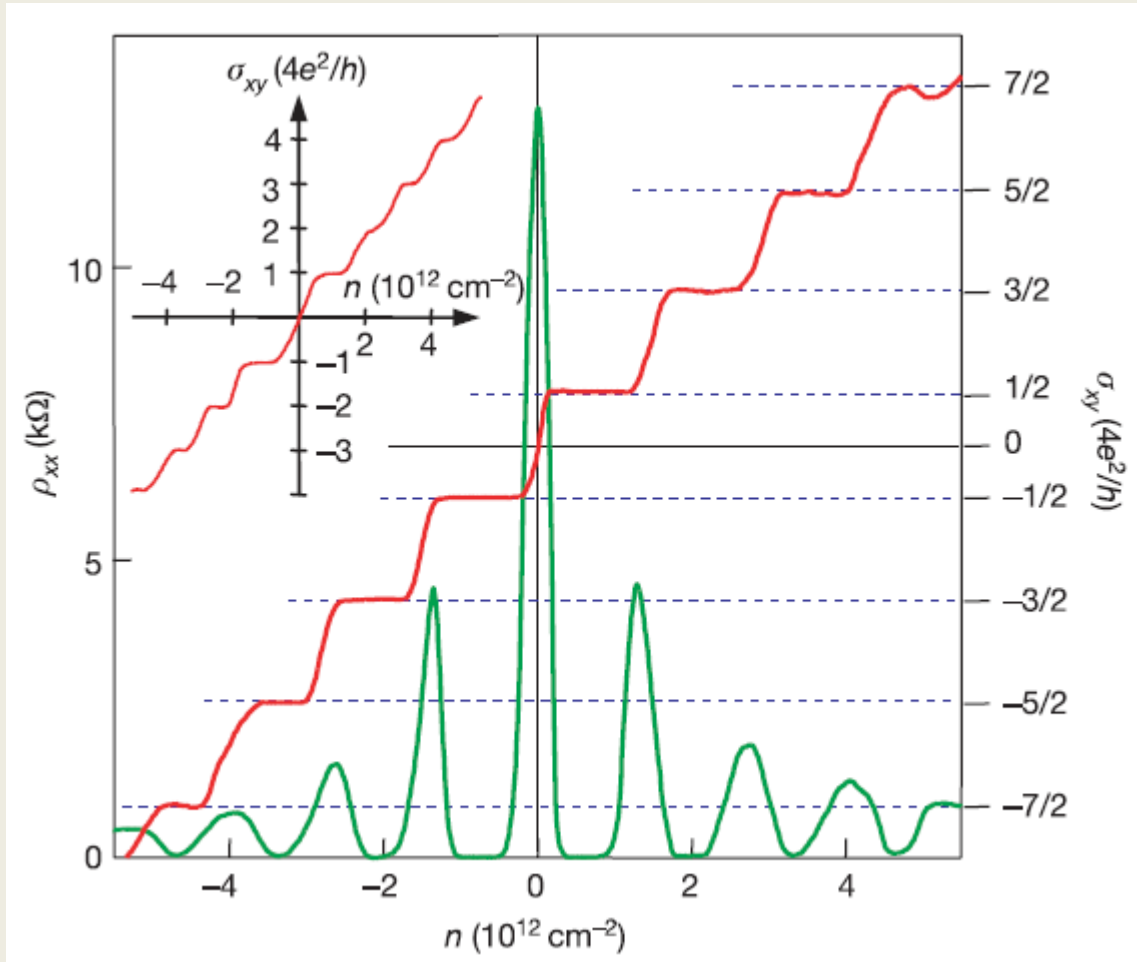


Large single crystal graphene grains expands on Cu surface. Coalescence of grains leads to continuous monolayered film.

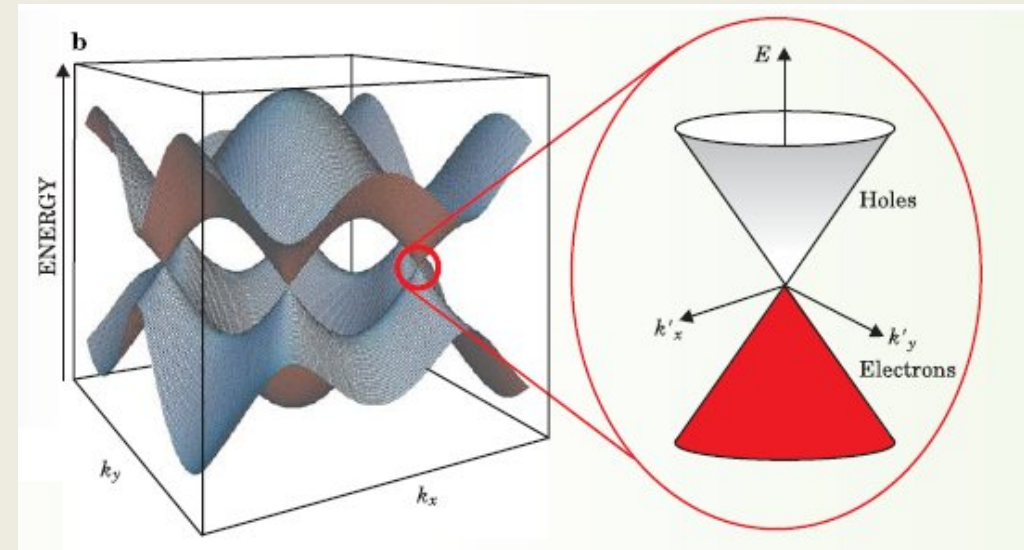
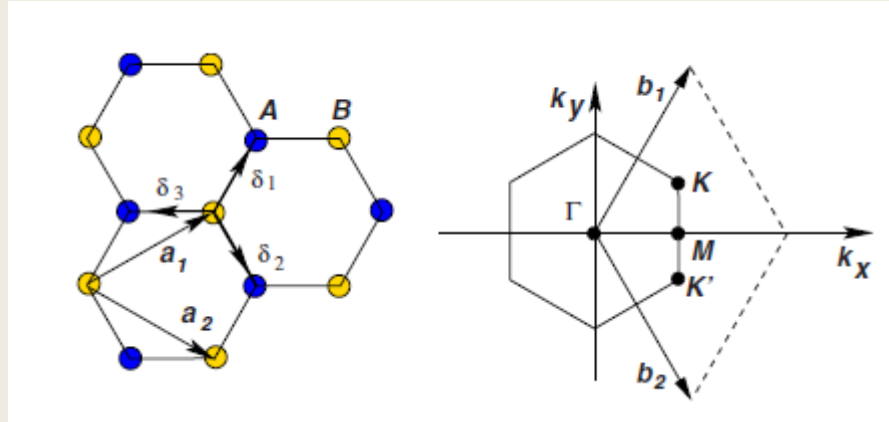


Typical aspect of transferred graphene





(Novoselov et al., Nature 2005)

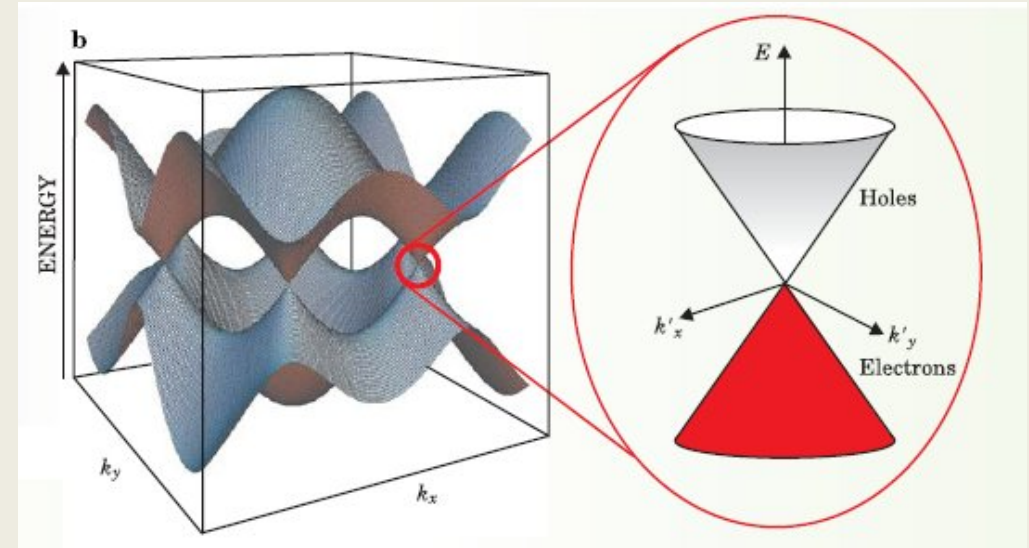
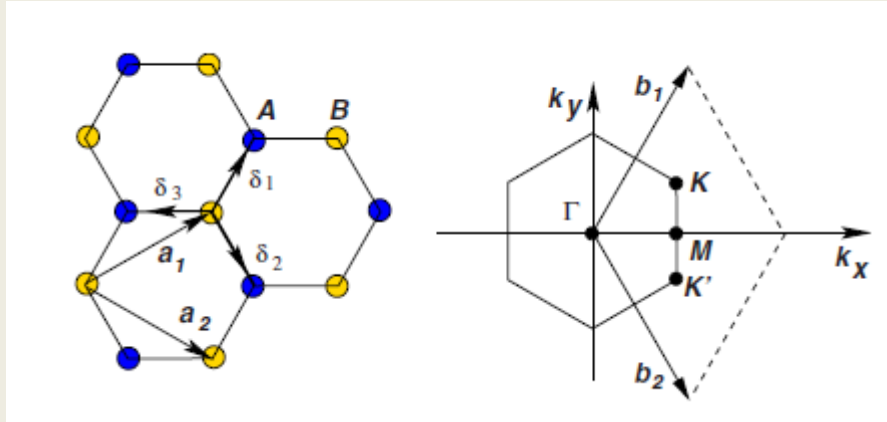


(P.R. Wallace, PRB 1947)

- ✓ Deux atomes identiques par maille (sous réseaux équivalents A et B)
- ✓ Deux points de Fermi non-équivalents K et K'
- ✓ Fort recouvrement des orbitales p_z entre premiers voisins

$$H = -t \sum_{i,j,\sigma} (a^*_{i,\sigma} b_{j,\sigma} + H.c.)$$

$$t \approx 2,8 \text{ eV} \quad a \approx 0,14 \text{ nm}$$

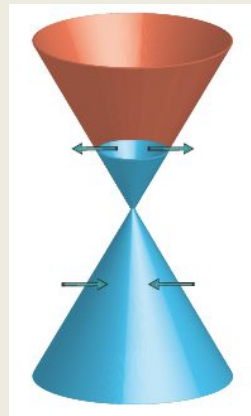


$$H = \hbar v_F \begin{pmatrix} 0 & q_x - iq_y \\ q_x + iq_y & 0 \end{pmatrix} = \hbar v_F \boldsymbol{\sigma} \cdot \mathbf{q}$$

avec $q = K - k$ et $\boldsymbol{\sigma}$ les matrices de Pauli

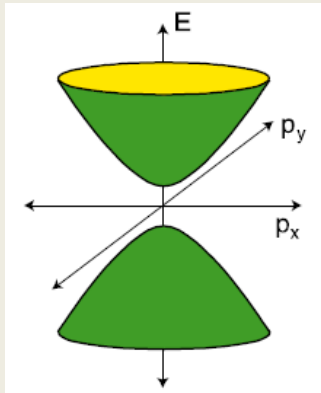
$$v_F = \frac{3}{2} t a = 10^6 \text{ m/s}$$

$$\Psi_{\pm K}(\mathbf{q}) = \frac{e^{i\mathbf{q} \cdot \mathbf{r}}}{\sqrt{2}} \begin{pmatrix} 1 \\ \pm e^{i\theta_q} \end{pmatrix} \text{ avec } \theta_q = \tan^{-1} \frac{q_x}{q_y}$$

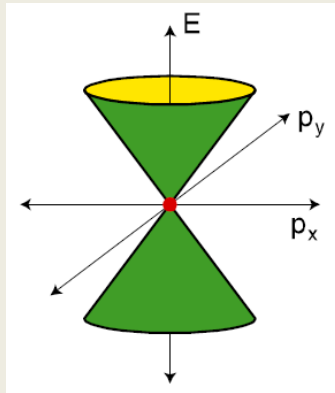


- ✓ Hamiltonien de Dirac (x4)
- ✓ Fonctions onde → spinneur
- ✓ Pseudo spin de sous-réseau
- ✓ Modèle robuste ($\pm 1\text{eV}$)

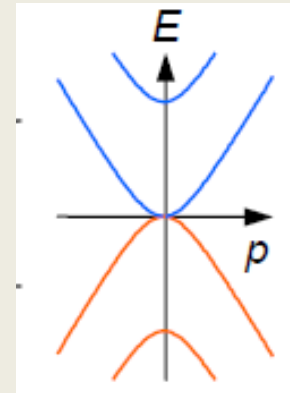
Gas 2D



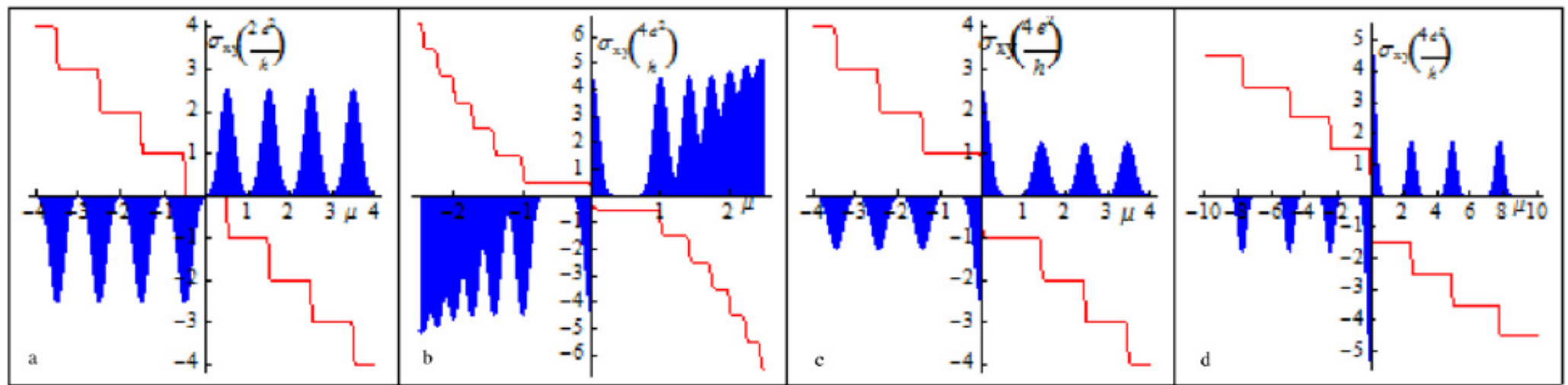
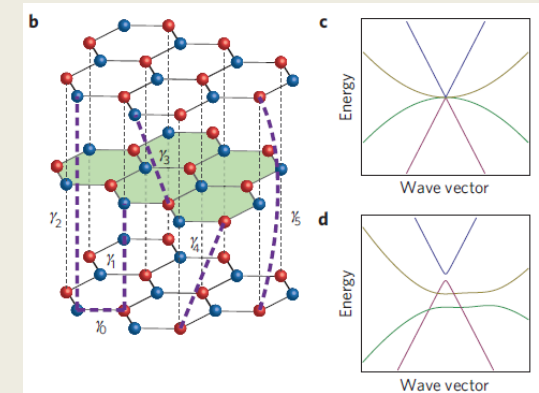
Graph. 1-couche



Graph. 2-couches

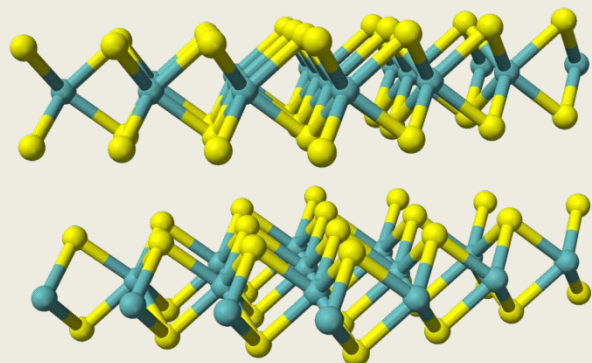


Graph. 3-couches



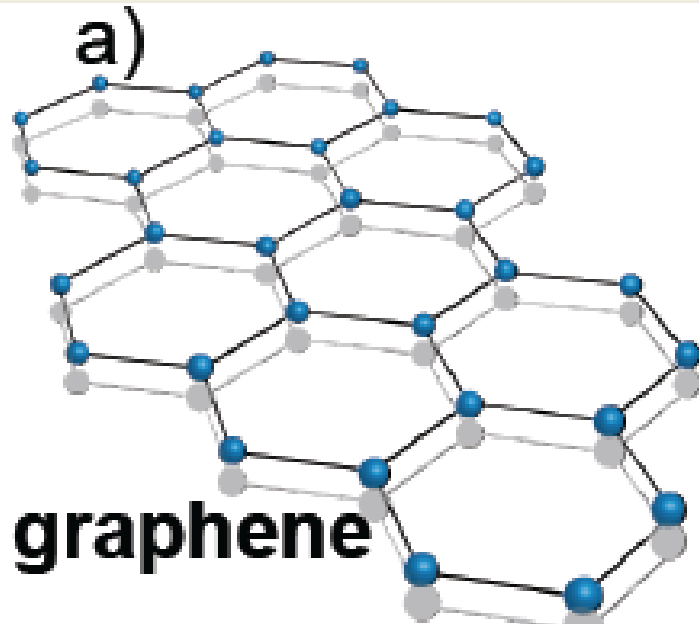
(Barlas et al., Nanotech 2012)

1. Crystal 2D d'épaisseur atomique
2. Propriétés dépendent qualitativement du nombre de couches
3. Le transport dépendent à l'ordre zéro de la symétrie du cristal
4. Fortement accordables par des grilles ou autres actions locales

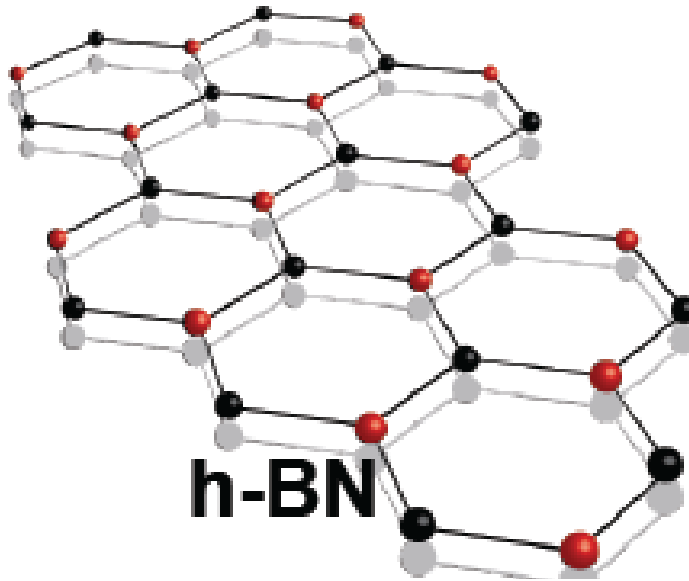


Graphene family	Graphene	hBN 'white graphene'	BCN	Fluorographene	Graphene oxide
2D chalcogenides	MoS ₂ , WS ₂ , MoSe ₂ , WSe ₂	Semiconducting dichalcogenides: MoTe ₂ , WTe ₂ , ZrS ₂ , ZrSe ₂ and so on	Metallic dichalcogenides: NbSe ₂ , NbS ₂ , TaS ₂ , TiS ₂ , NiSe ₂ and so on		
			Layered semiconductors: GaSe, GaTe, InSe, Bi ₂ Se ₃ and so on		
2D oxides	Micas, BSCCO	MoO ₃ , WO ₃	Perovskite-type: LaNb ₂ O ₇ , (Ca,Sr) ₂ Nb ₃ O ₁₀ , Bi ₄ Ti ₃ O ₁₂ , Ca ₂ Ta ₂ TiO ₁₀ and so on		Hydroxides: Ni(OH) ₂ , Eu(OH) ₂ and so on
	Layered Cu oxides	TiO ₂ , MnO ₂ , V ₂ O ₅ , TaO ₃ , RuO ₂ and so on			Others

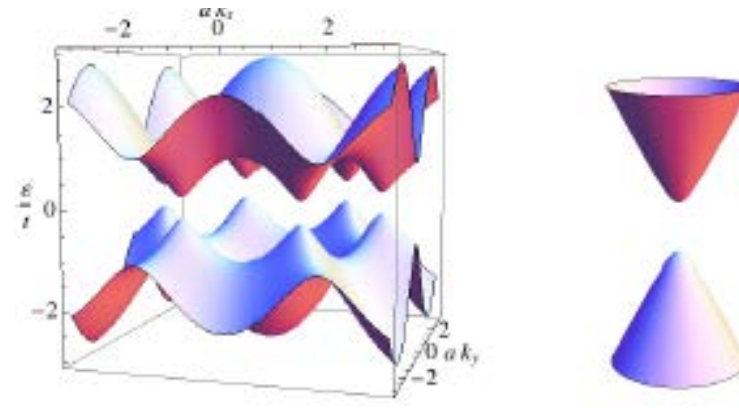
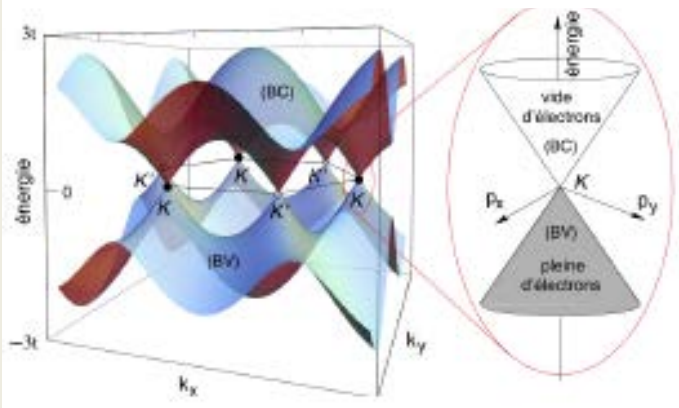
AK Geim & IV Grigorieva Nature 499, 419-425 (2013) doi:10.1038/nature12385



band-gap = 0



band-gap = 6eV !



Science.gouv.fr

J-N. Fuchs, habilitation, Orsay 2013

TRÈS BN[®] Cosmetic Powders

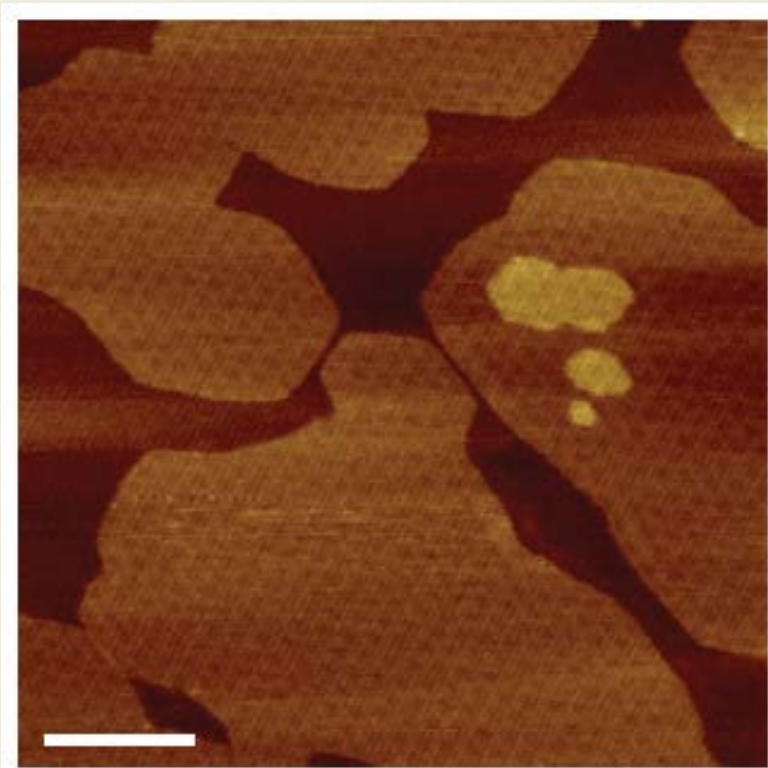
Boron Nitride powders for color cosmetics and skin care



Features / Benefits

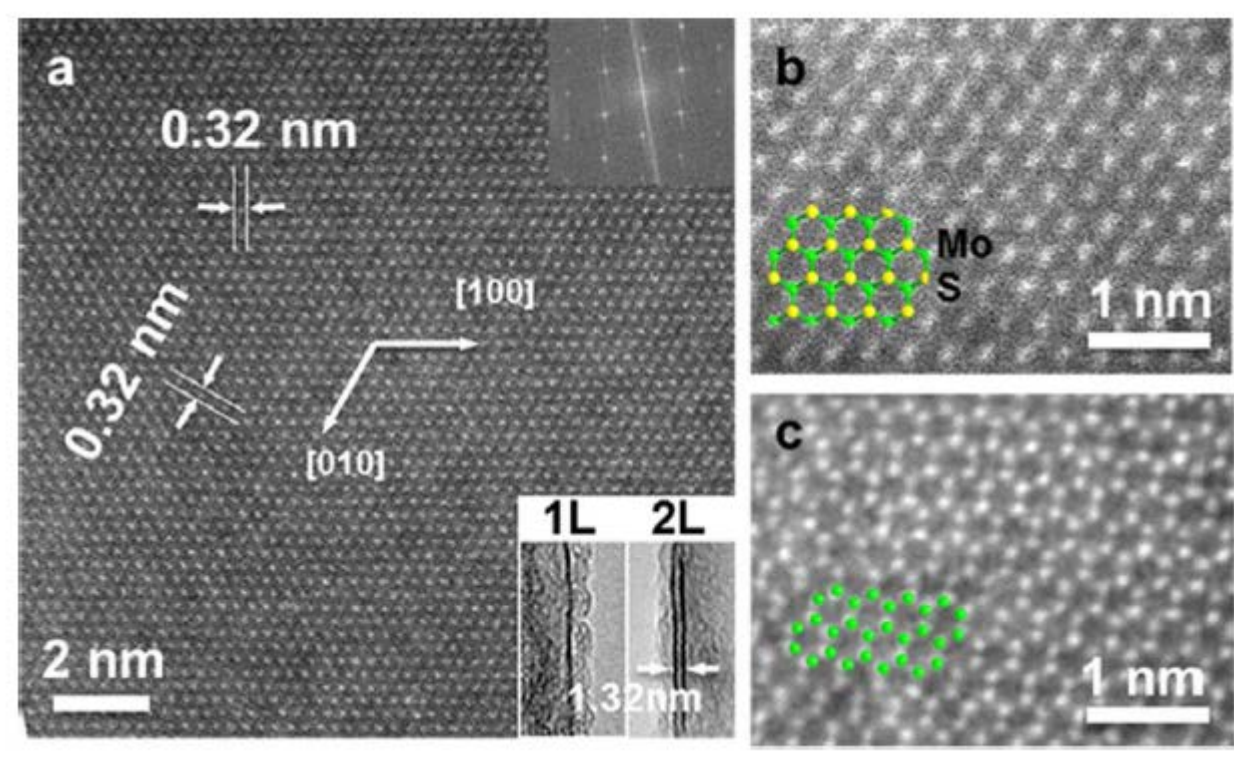
- Lamellar crystal structure improves texture
- Soft and lubricious for superior spreading and adherence
- Decreases tack by absorbing excess oils
- Finely divided particle size distributions
 - < = 2 μm high opacity and soft focus
 - 6 - 8 μm for luminous coverage and soft focus
 - 12- 16 μm for translucent appearance
 - > 16 μm for reflection and luminosity

h-BN



W. Yang et al., Nature Mat. (2013)

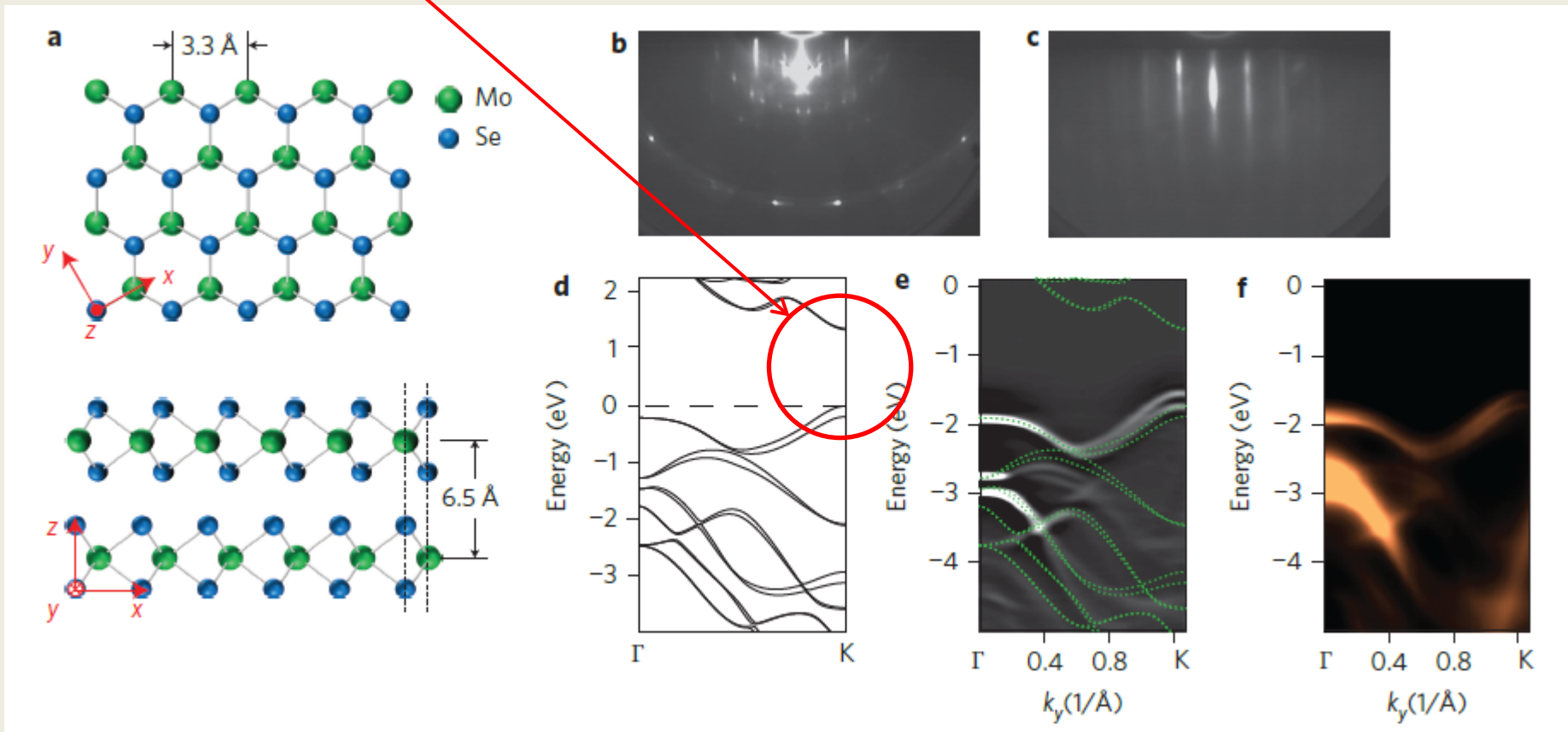
MoS₂



Y. Zhang et al., Nature Nanot.. (2013)

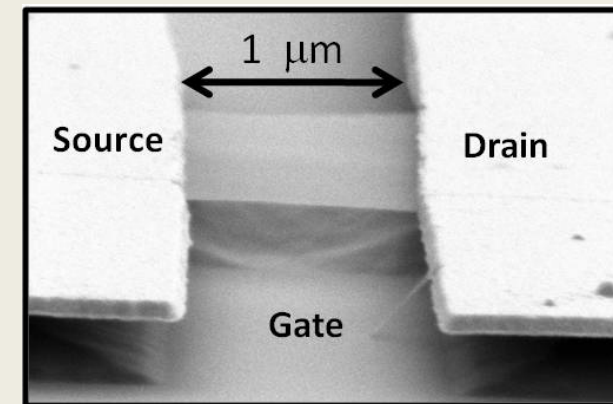
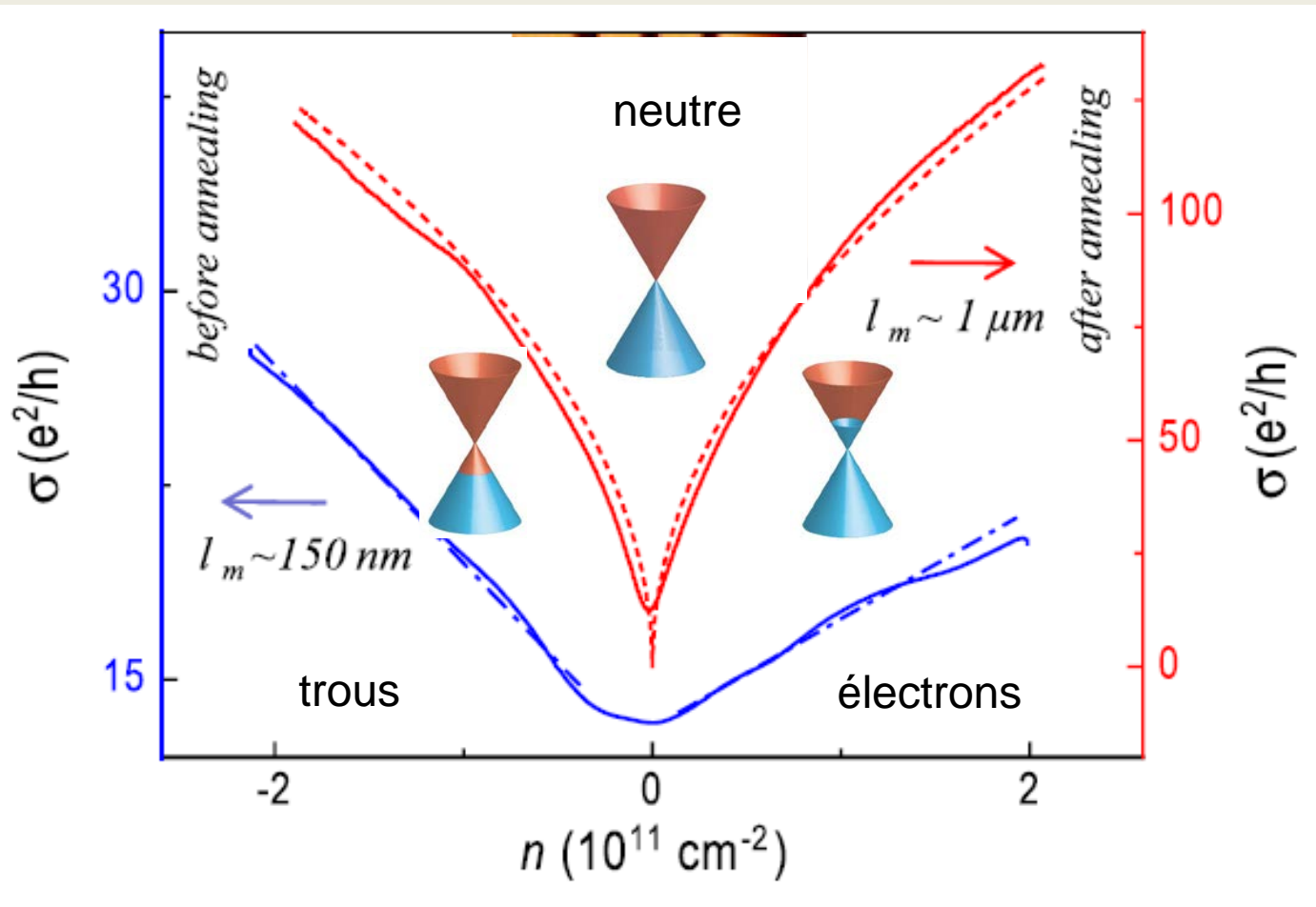
Monocouche => gap direct

multicouche => gap indirect

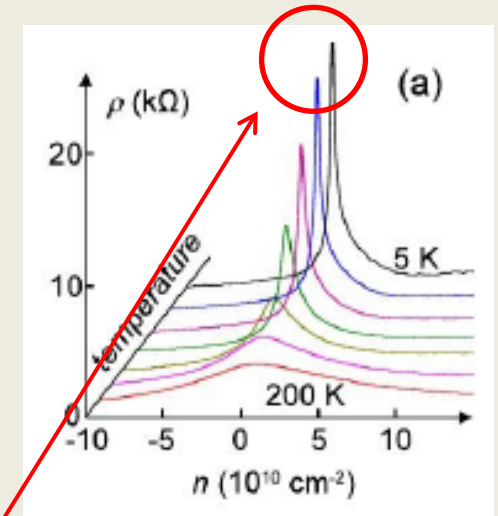
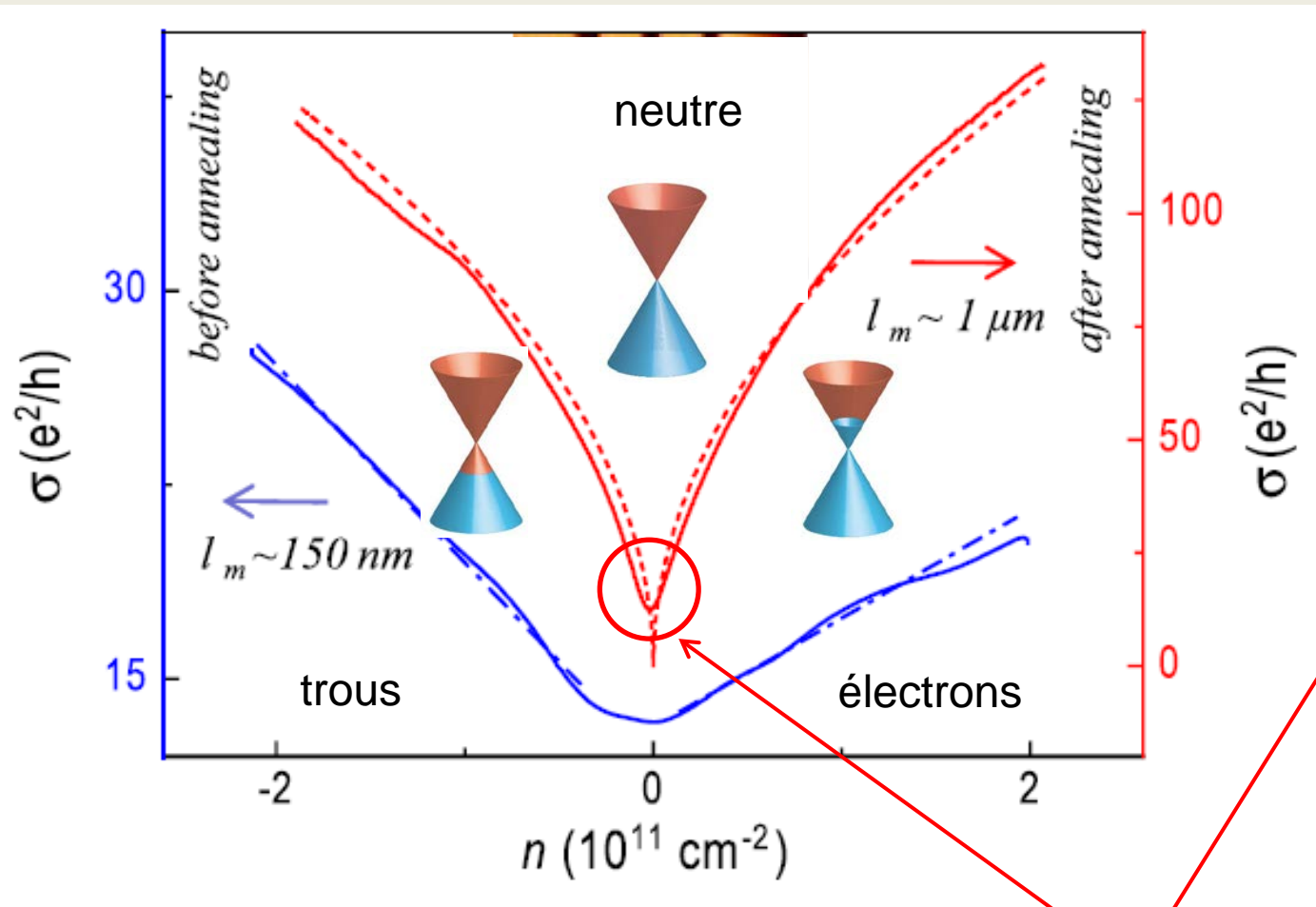


(Y. Zhang et al., Nature Nanotech 2013)

- Le graphène et les autres matériaux 2D
- Les cristaux 2D et leurs substrat
- Propriétés étranges des électrons de Dirac
- À quoi peut servir le graphène en électronique ?



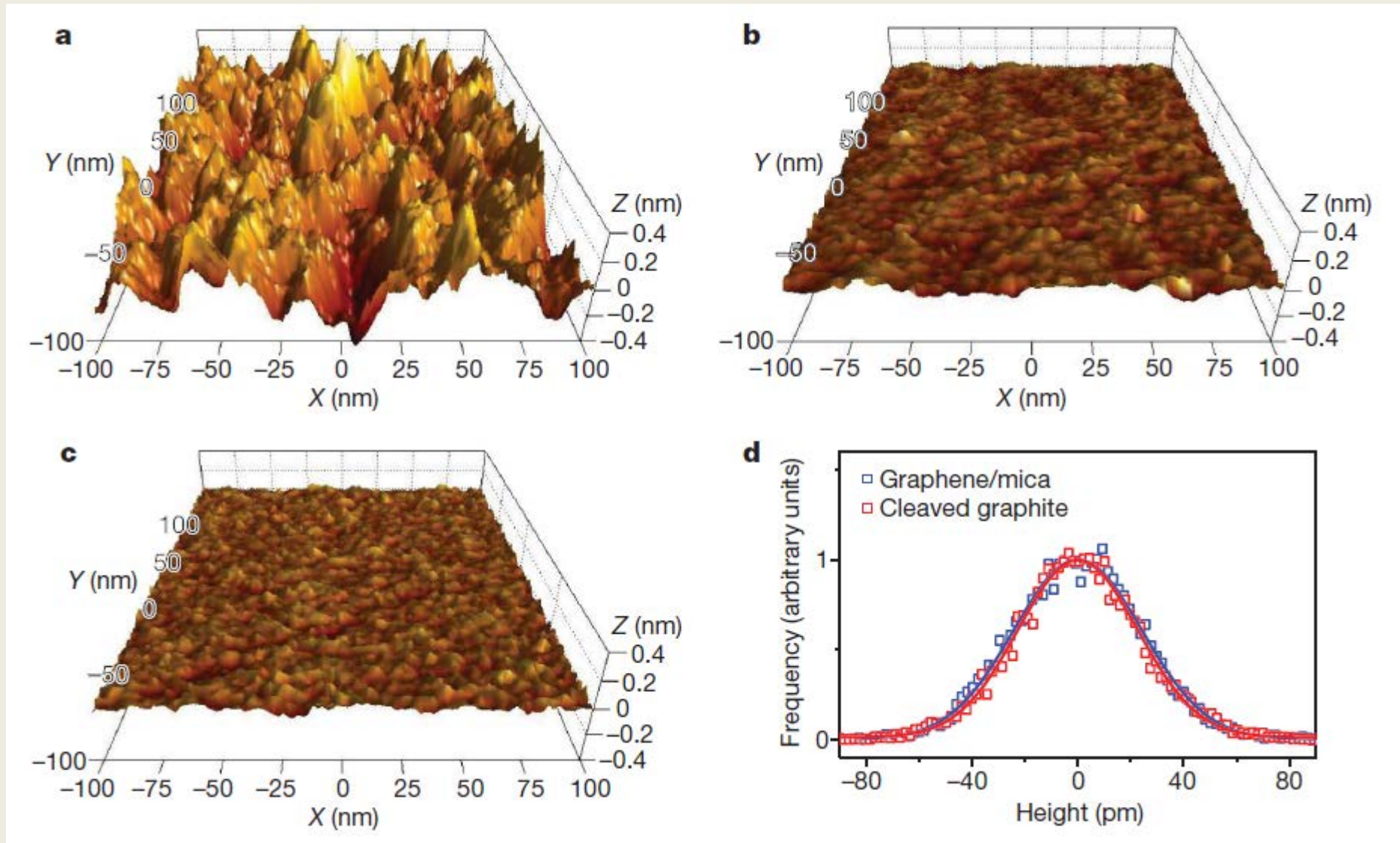
(K.I. Bolotin et al. PRL2008)



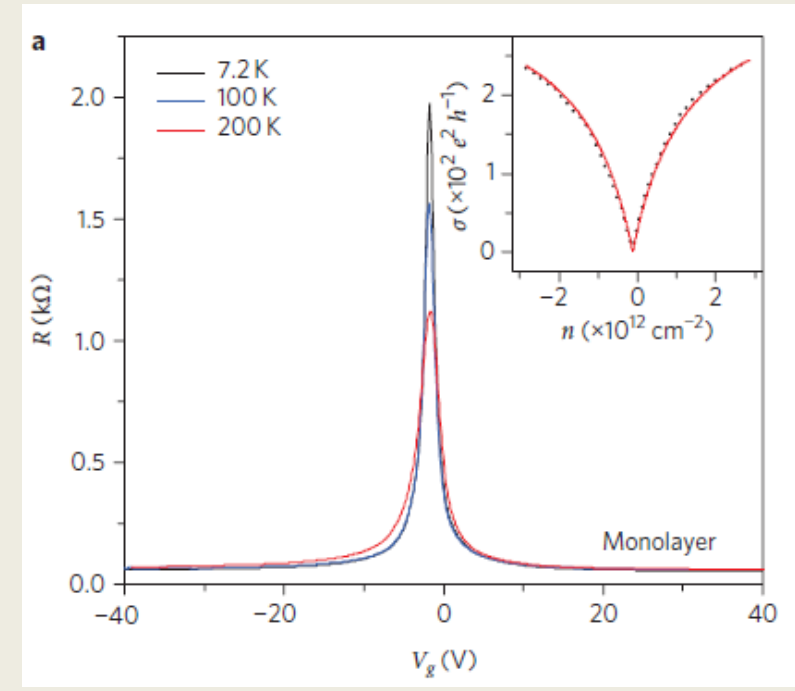
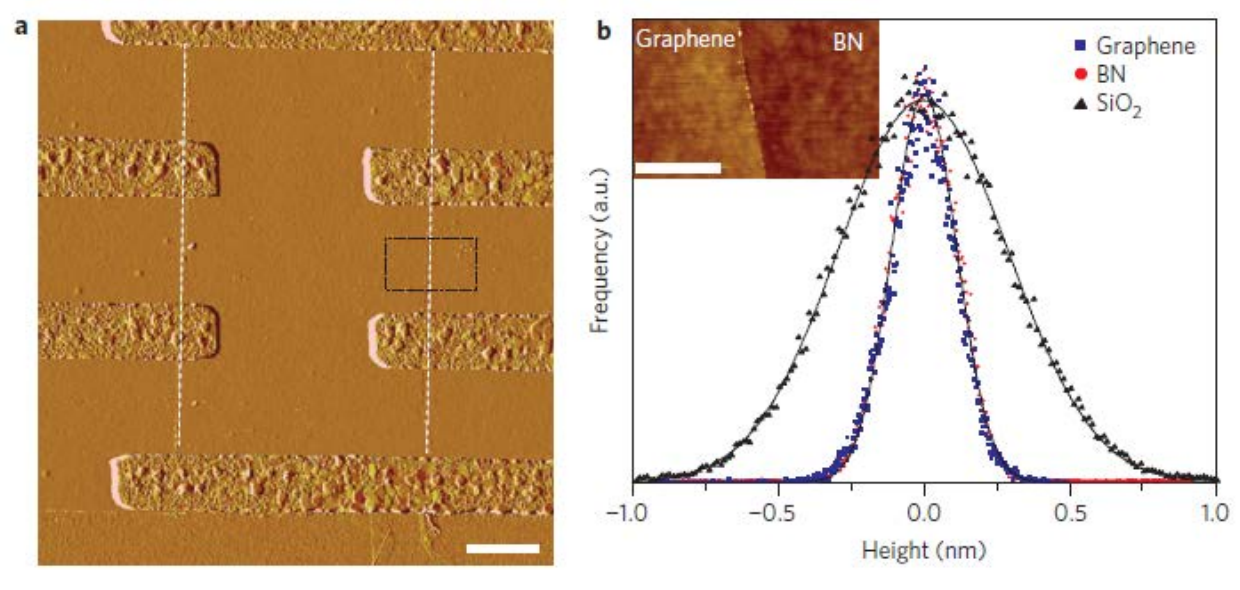
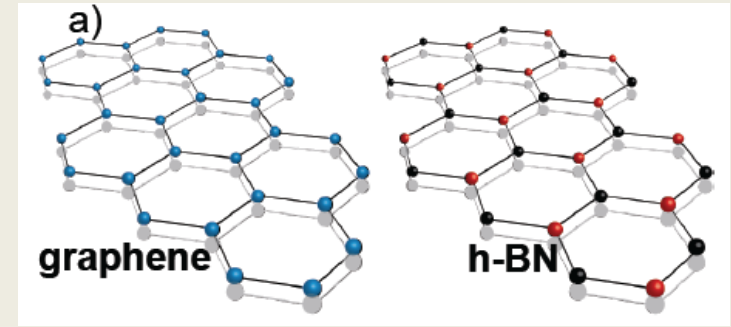
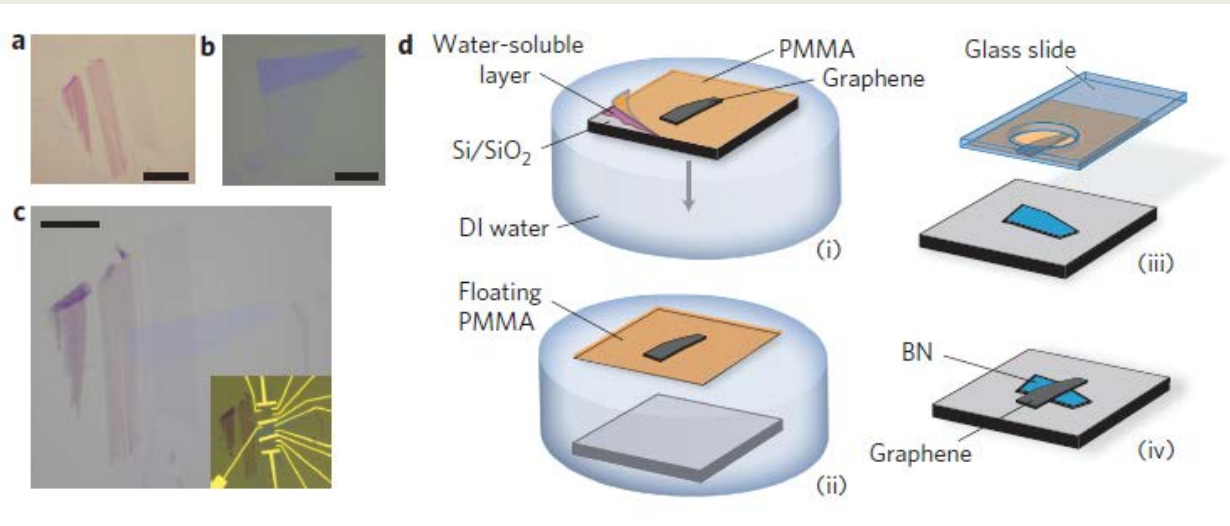
(E.V. Castro et al. PRL2010)

(K.I. Bolotin et al. PRL2008)

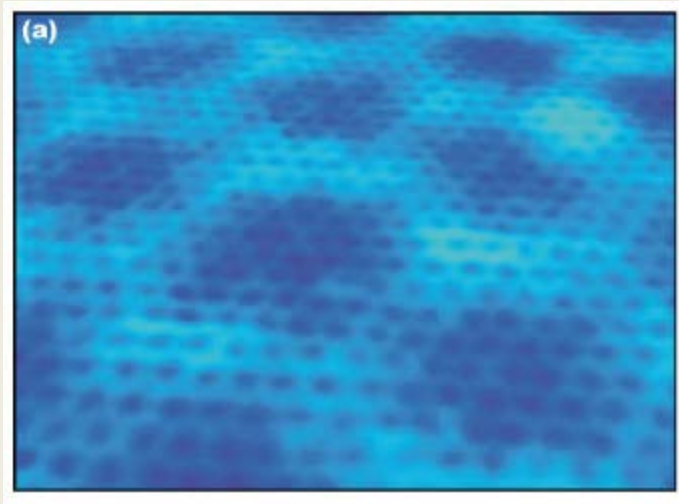
Conductivité minimum $\sigma \sim \frac{4e^2}{h}$



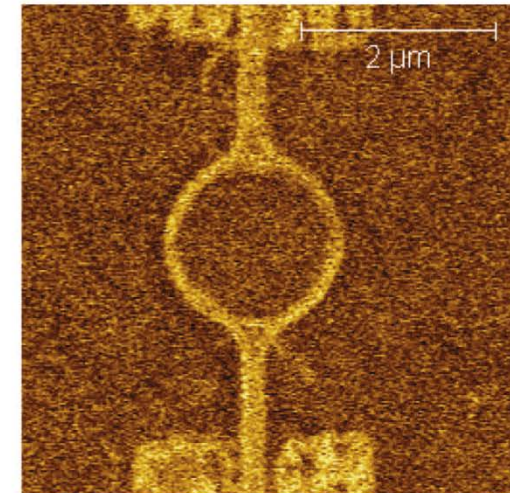
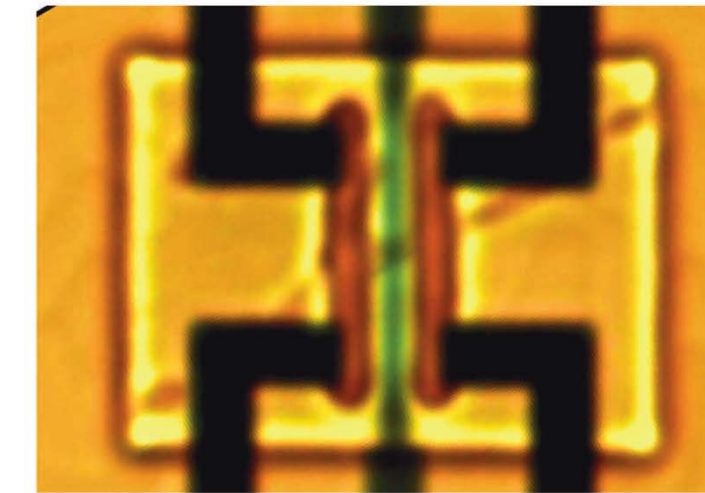
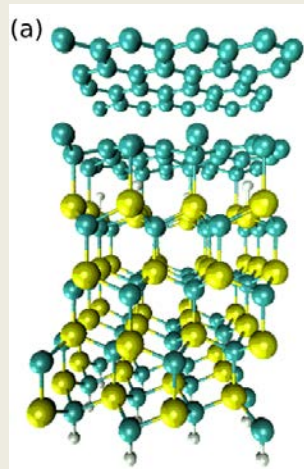
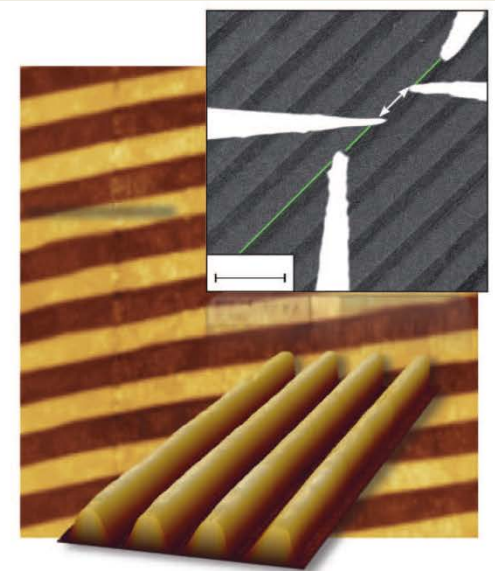
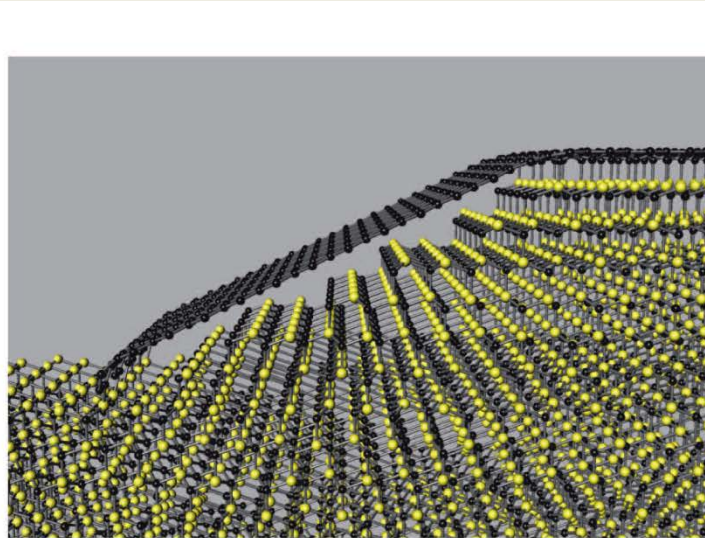
(Lui et al., Nature 2009)



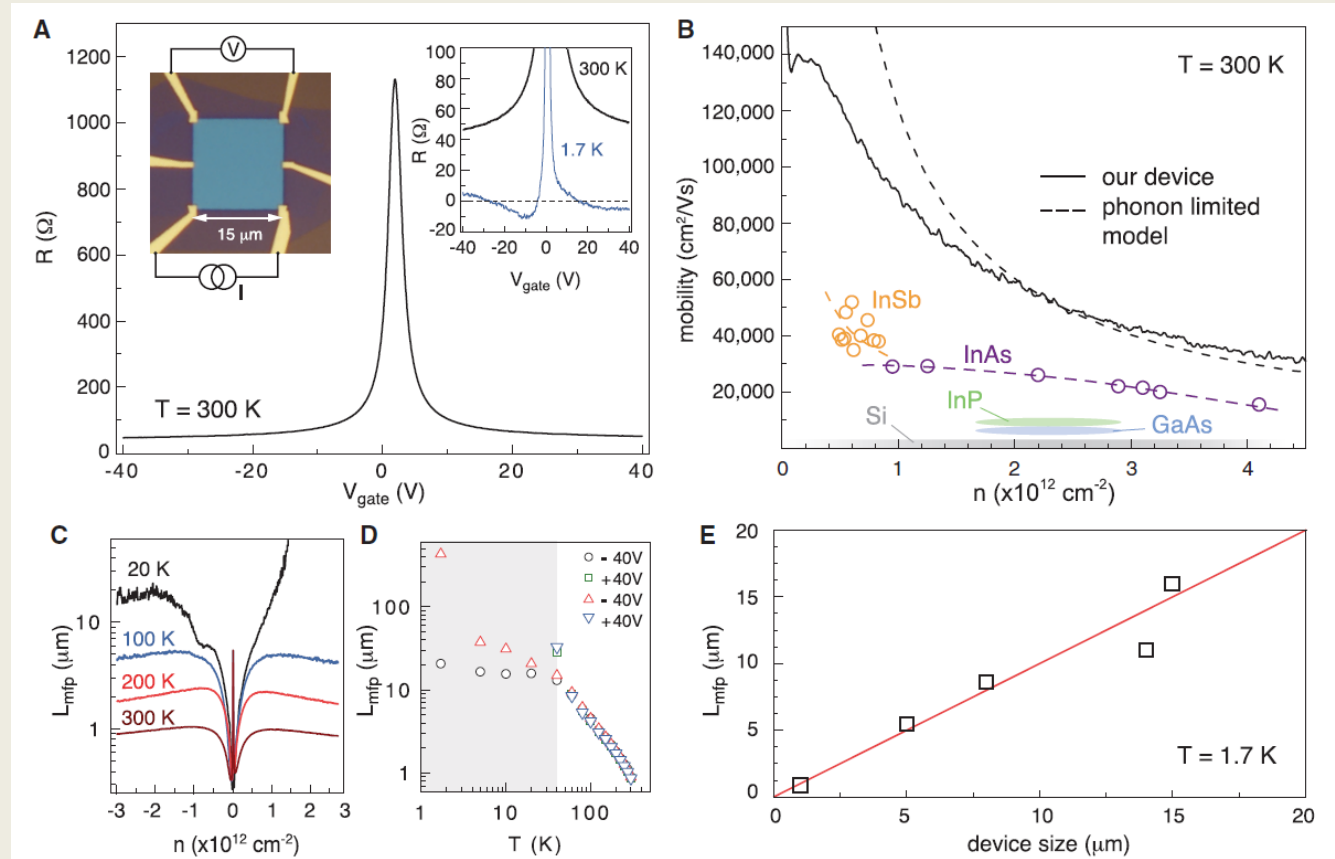
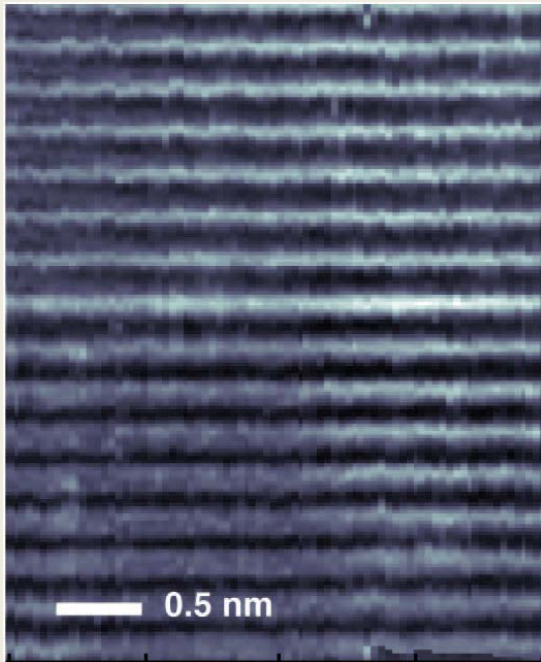
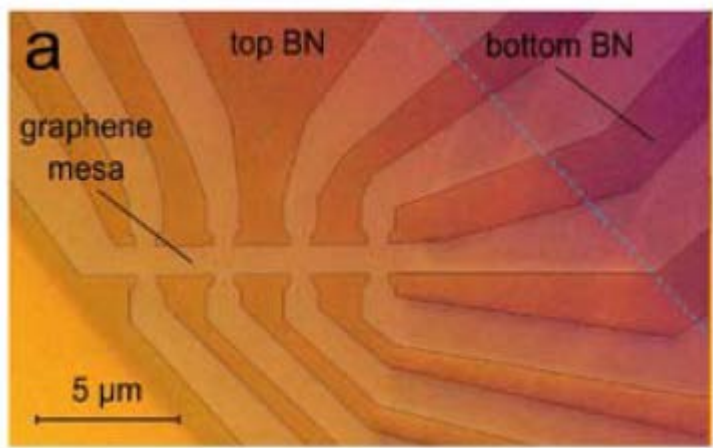
(Dean et al., Nanoletters 2010)



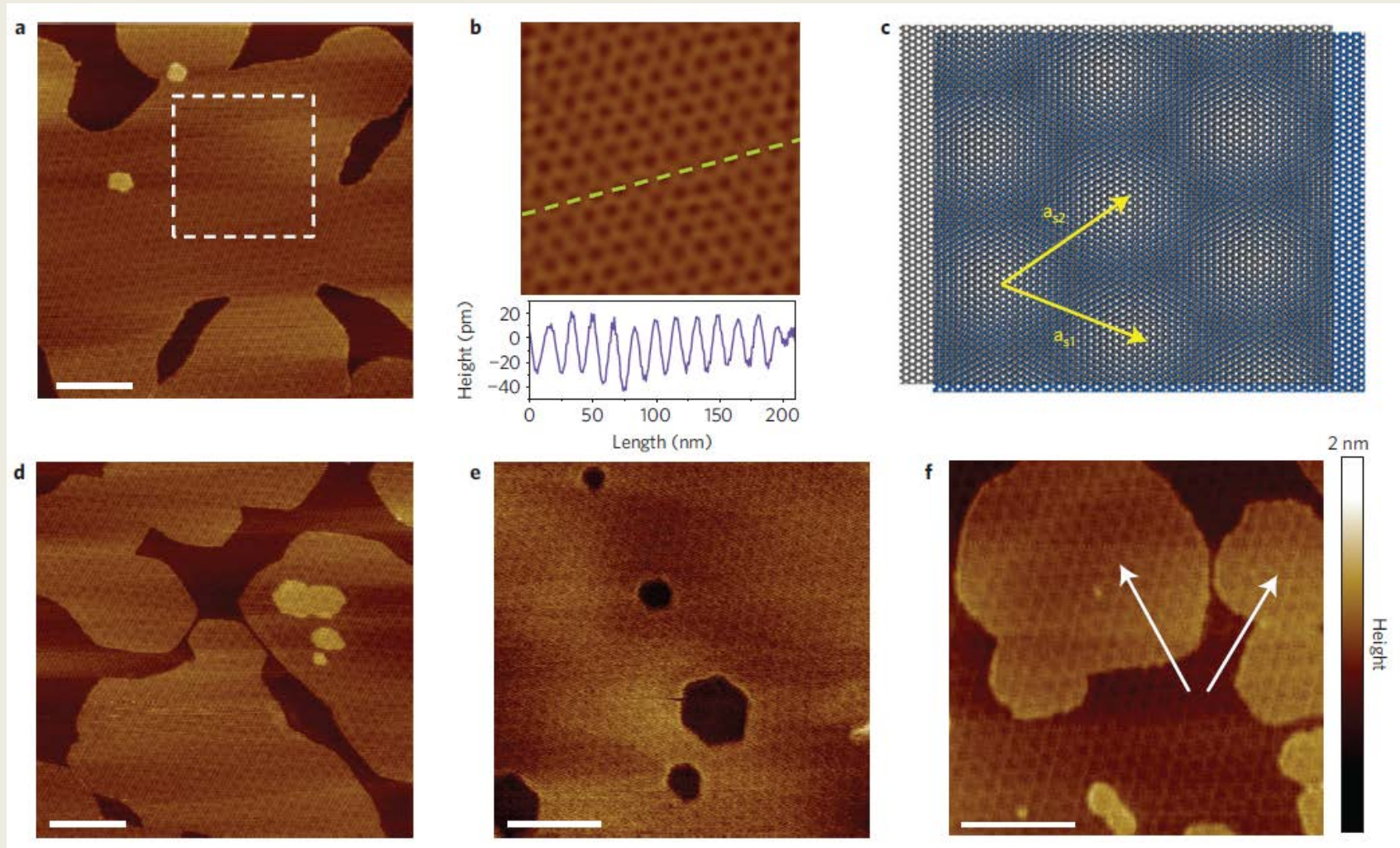
(Courtesy of P. Mallet, Néel)



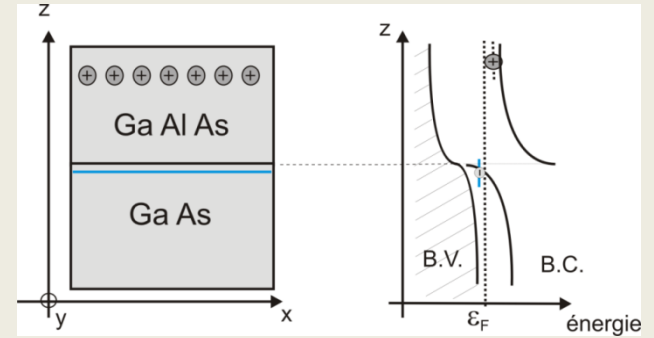
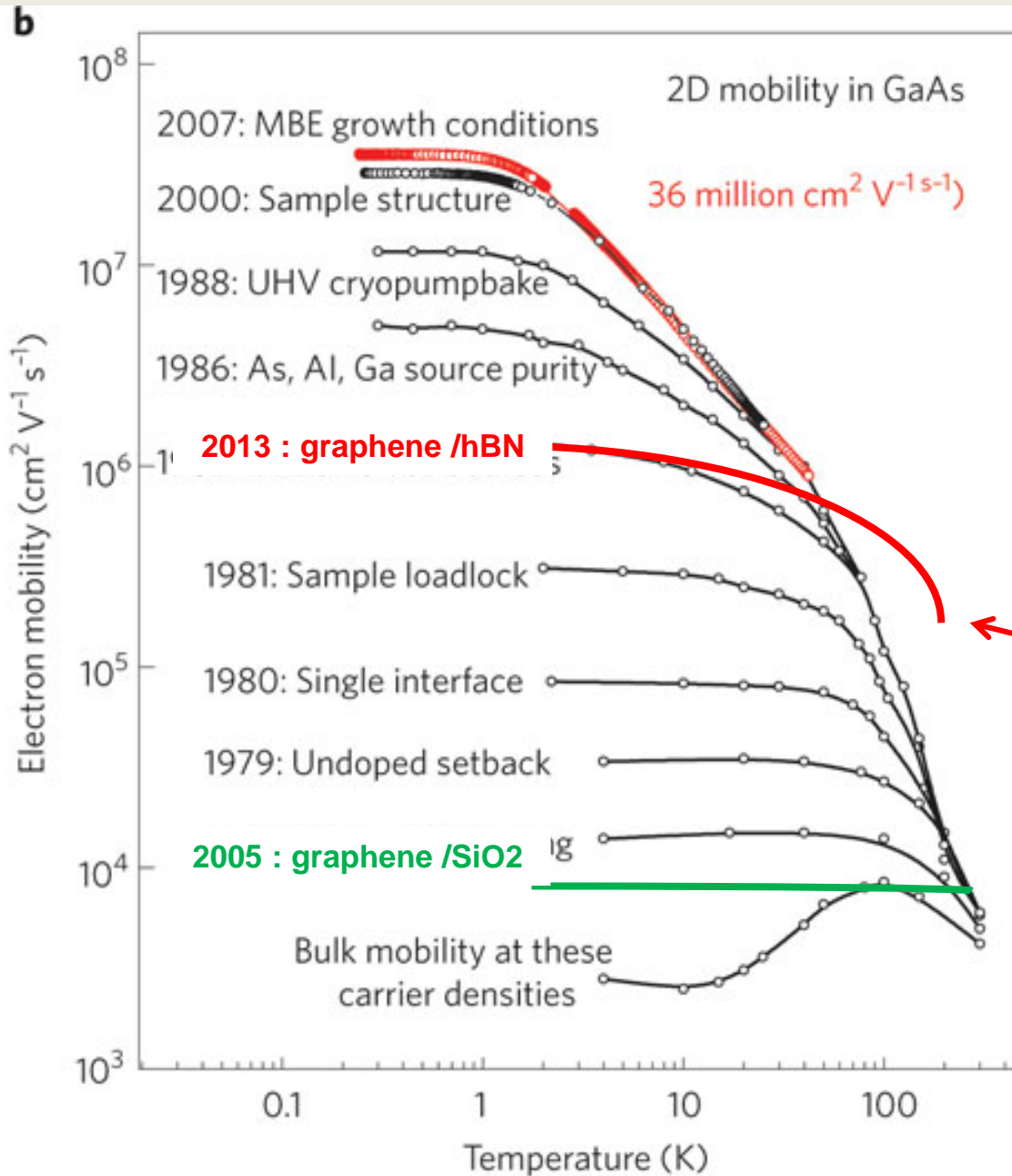
(Baringhaus et al. Nature 2014)



L. Wang et al., Science 342, 614 (2013)



(W. Jang et al., Nature Nanotech 2014)



Very weak effect of phonons

Room temperature applications ?

- Le graphène et les autres matériaux 2D
- Les cristaux 2D et leurs substrat
- Propriétés étranges des électrons de Dirac
- À quoi peut servir le graphène en électronique ?

Electrons de Dirac

Relation dispersion linéaire

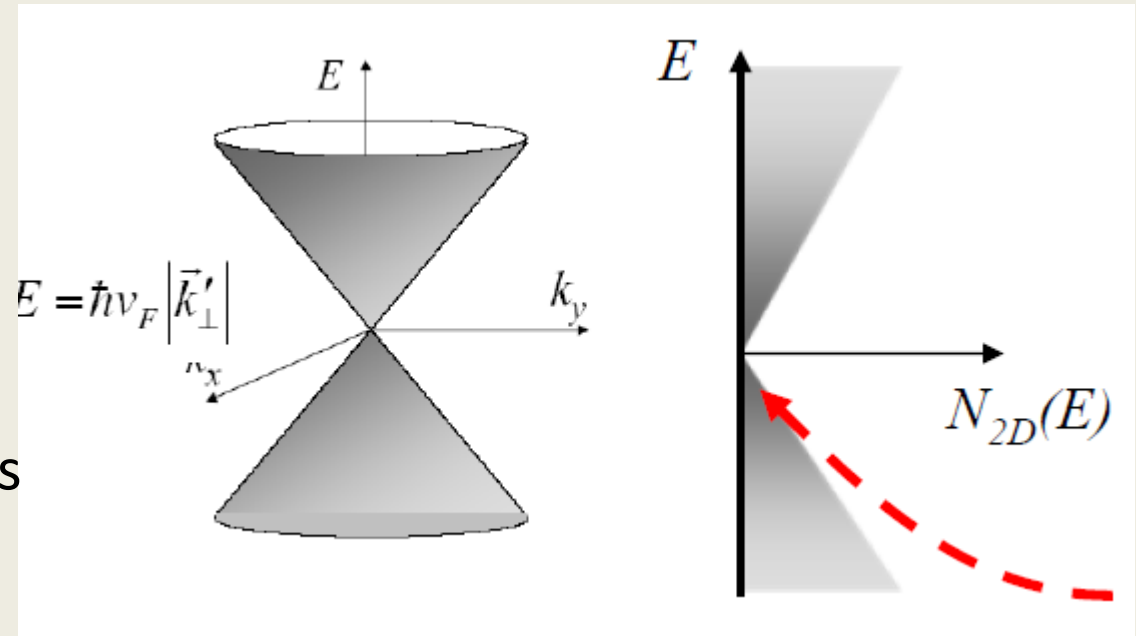
Fermions de masse nulle

Symétrie électron-trou

Pas de bande interdite

Singularité de la densité d'états

La fonction d'onde = spineur



Electrons de Schrödinger

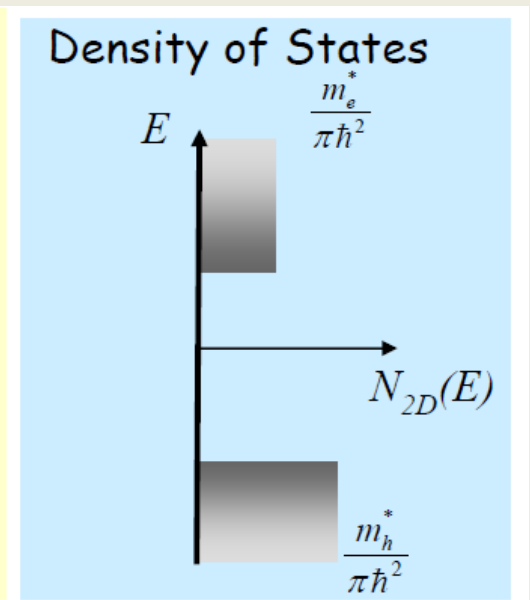
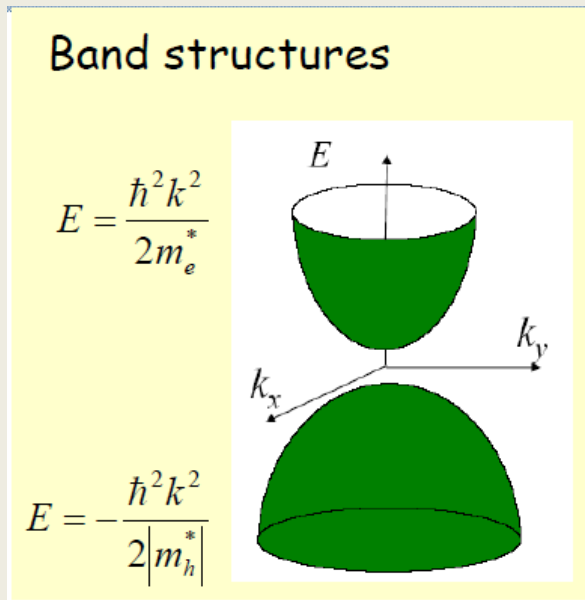
Dispersion parabolique

Fermions massifs

Electrons \neq trous

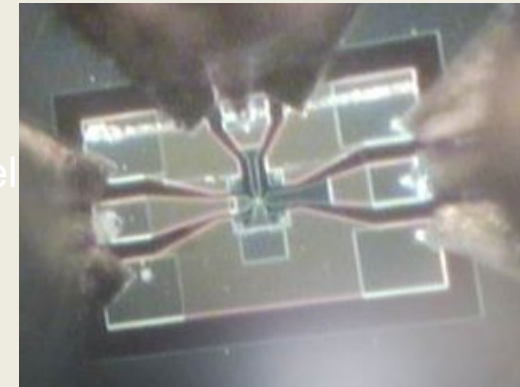
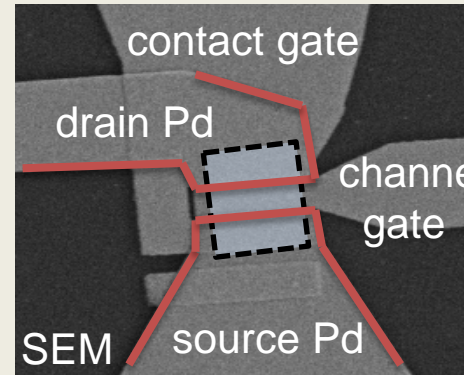
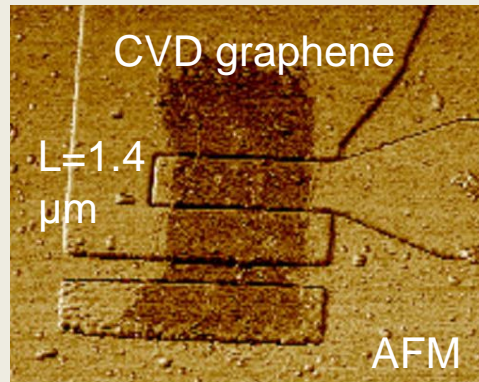
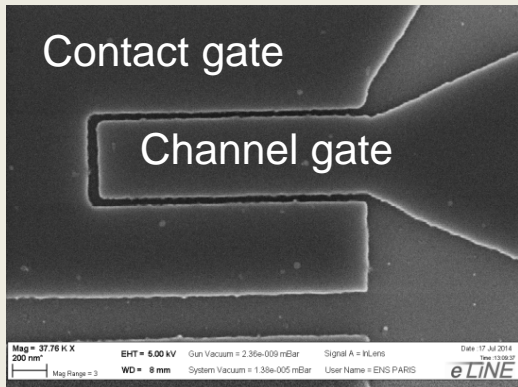
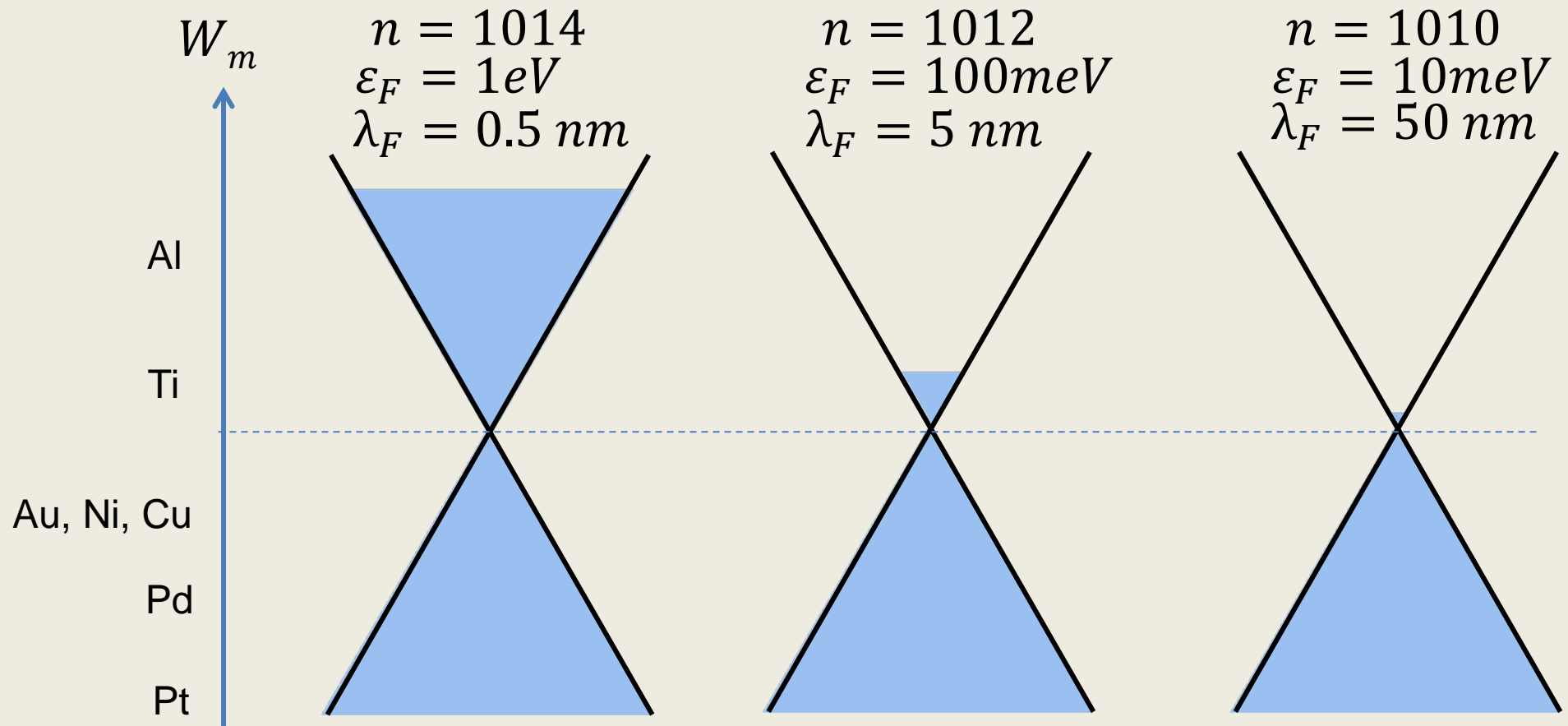
Une bande interdite

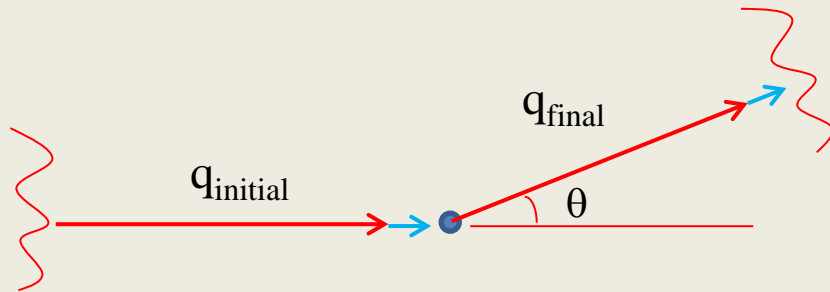
Fonctions de Bloch scalaires



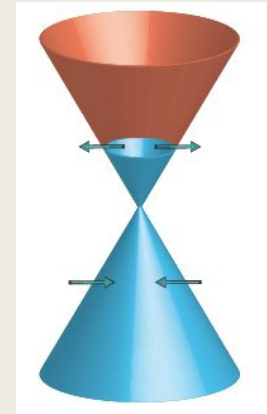
Dirac point

Un effet de champ très efficace



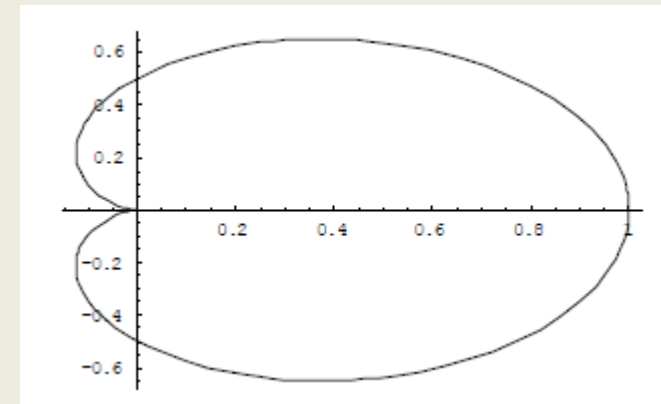


$$\tau^{-1} \propto \int d\theta (1 - \cos \theta)(1 + \cos \theta) |V(q)|^2$$

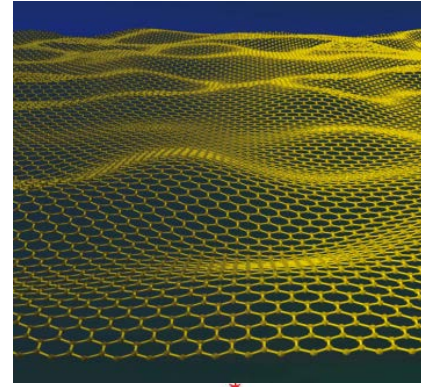


Conductivité : $\sigma = e^2 N(\epsilon_F) v_F^2 \tau / 2$

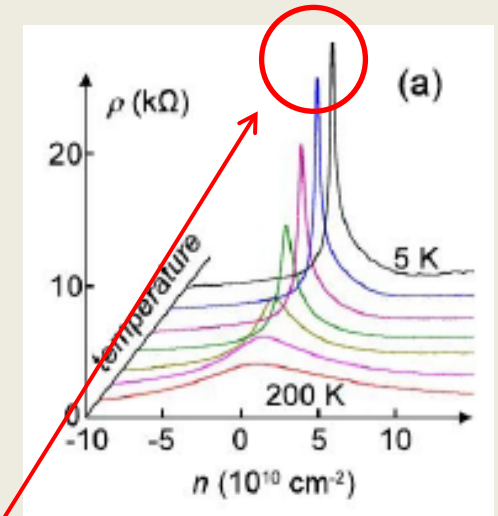
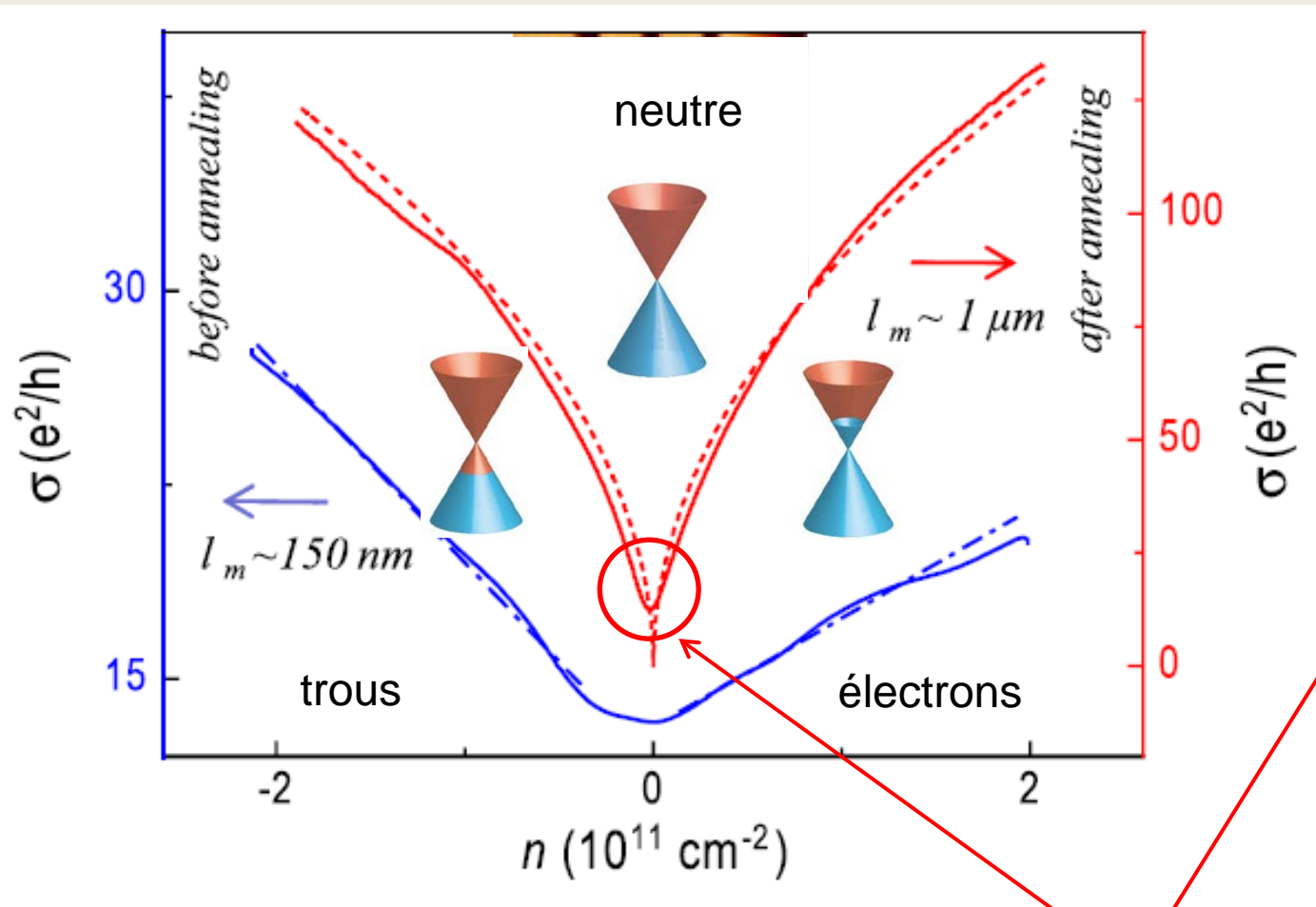
- Suppression de la rétrodiffusion directe
- D'où les grandes valeurs de mobilité
- Mais pas seulement/....



$$H_K = \hbar v_F \boldsymbol{\sigma} \cdot \mathbf{q} \quad + \quad \begin{array}{c} \text{scalar} \\ V(q) \hat{I} \\ \hat{I} = \begin{pmatrix} 1 & 0 \\ 0 & 1 \end{pmatrix} \end{array} \quad + \quad \begin{array}{c} \text{gauge-field} \\ \alpha \boldsymbol{\sigma} \cdot \mathbf{U} \end{array} \quad + \quad \begin{array}{c} \text{Dirac-mass} \\ \delta m^* \sigma_z \\ \sigma_z = \begin{pmatrix} 1 & 0 \\ 0 & -1 \end{pmatrix} \end{array}$$



- scalar disorder (\hat{I} -term), short range : adsorbates, void, etc...
- scalar disorder (\hat{I} -term), long range : no screening of charged impurities
- gauge field disorder : static distortions like ripples, etc...
- Dirac mass disorder : local lifting of sublattice degeneracy

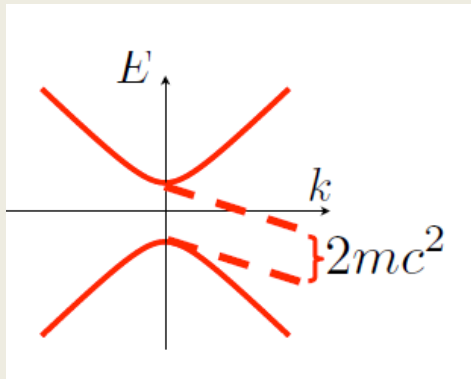


(E.V. Castro et al. PRL2010)

(K.I. Bolotin et al. PRL2008)

Conductivité minimum $\sigma \sim \frac{4e^2}{h}$

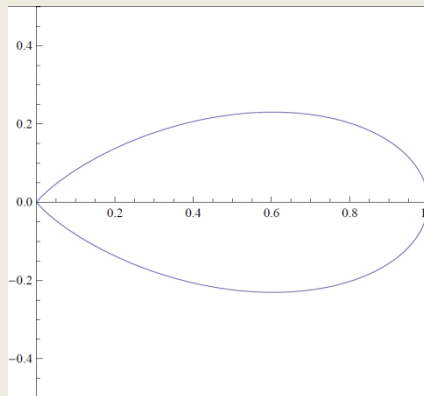
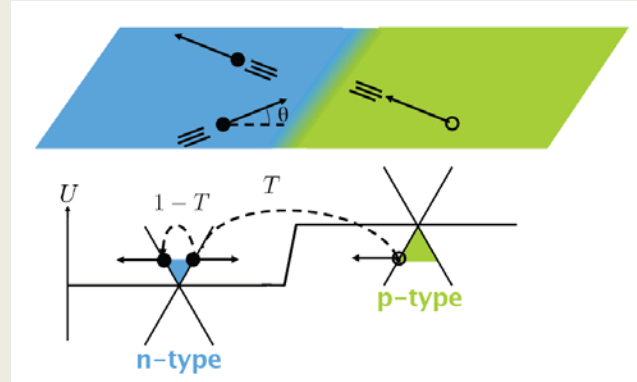
Fermions relativistes massifs



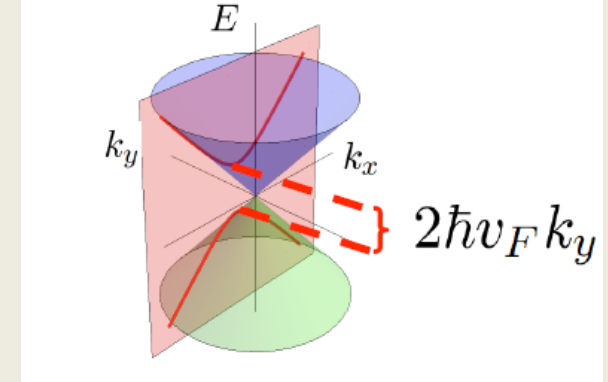
$$E = \pm \sqrt{(mc^2)^2 + (\hbar c k)^2}$$

$$T(q_y) = \exp\left(-\pi \hbar v_F k_c^2 / \frac{\partial U}{\partial x}\right)$$

(F. Sauter, Z. Phys. 1931)



Porteurs du graphène



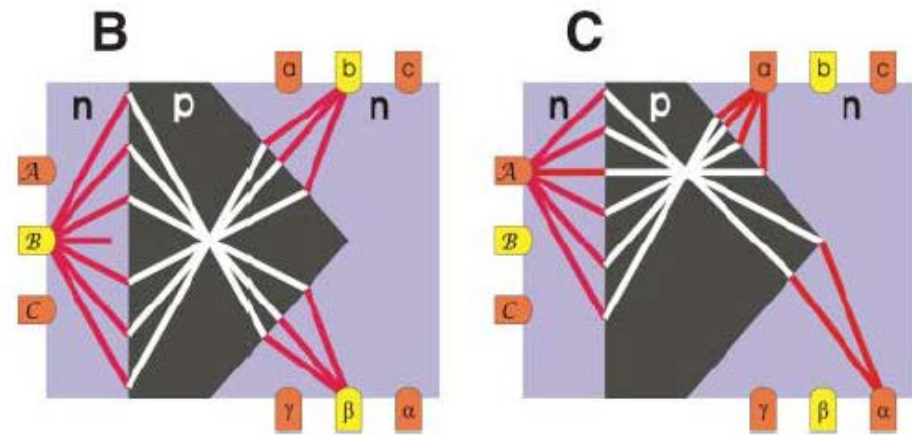
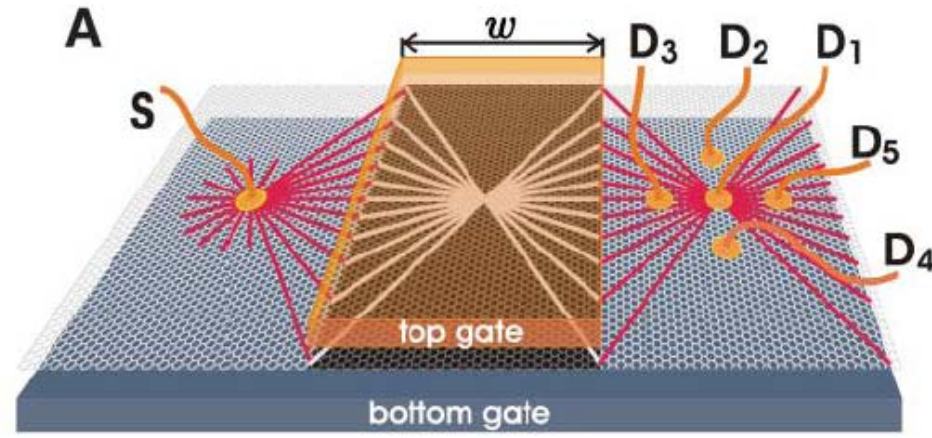
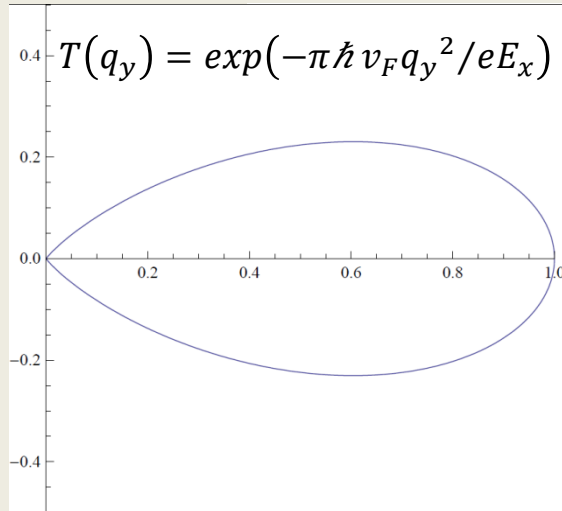
$$E = \pm \sqrt{(\hbar v_F q_y)^2 + (\hbar v_F q_x)^2}$$

$$T(q_y) = \exp(-\pi \hbar v_F q_y^2 / e E_x)$$

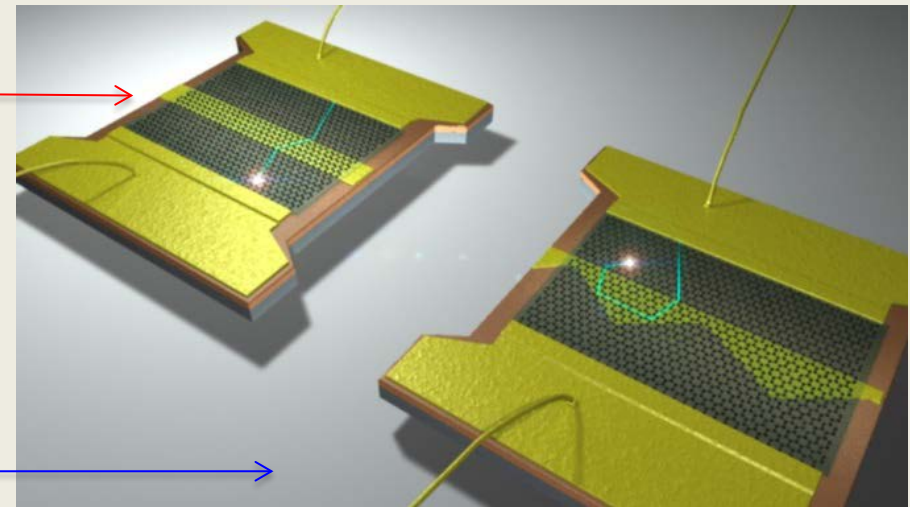
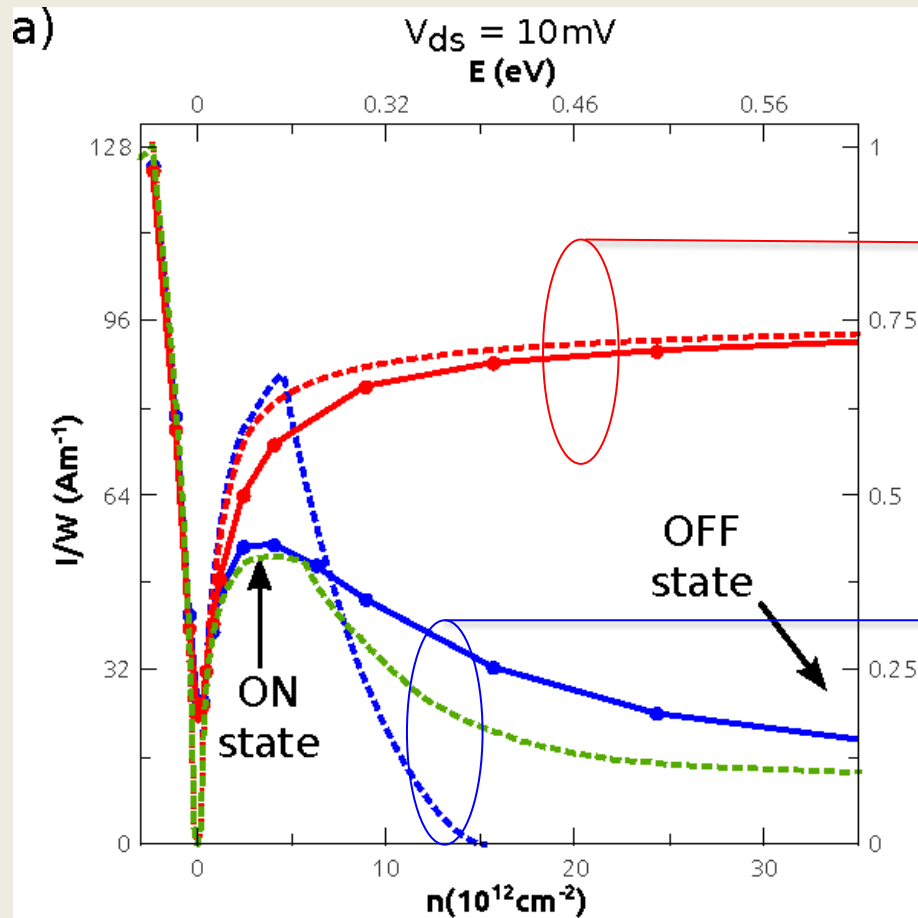
(Cheianov-Falko, PRB 2006)

Transmission parfaite en incidence normale !
(Ando et al., J. Phys. S. J 1998)

lentille de Vasalego



(Cheianov et al., Science 2007)



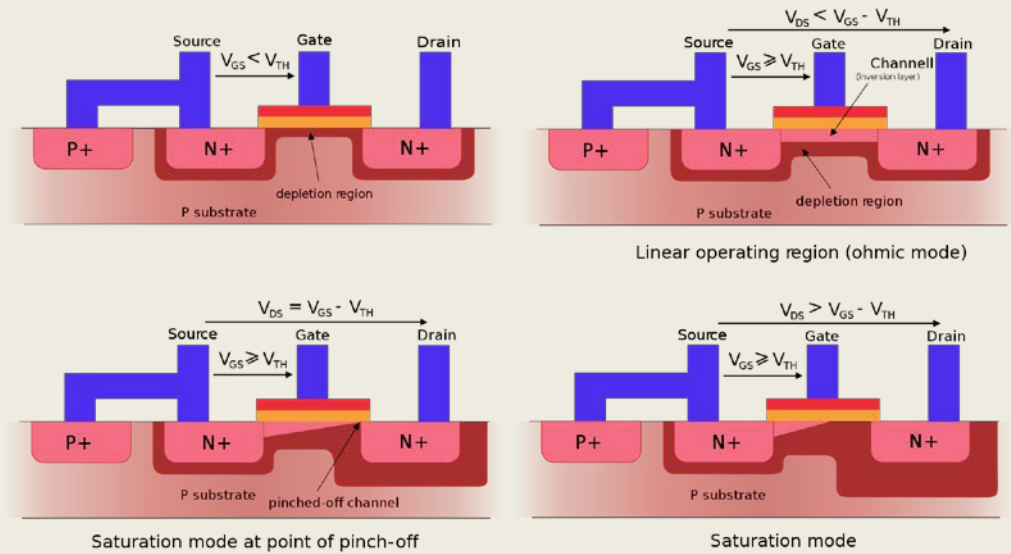
(Wilmart et al., 2DM 2014)

- Le graphène et les autres matériaux 2D
- Les cristaux 2D et leurs substrat
- Propriétés étranges des électrons de Dirac
- À quoi peut servir le graphène en électronique ?

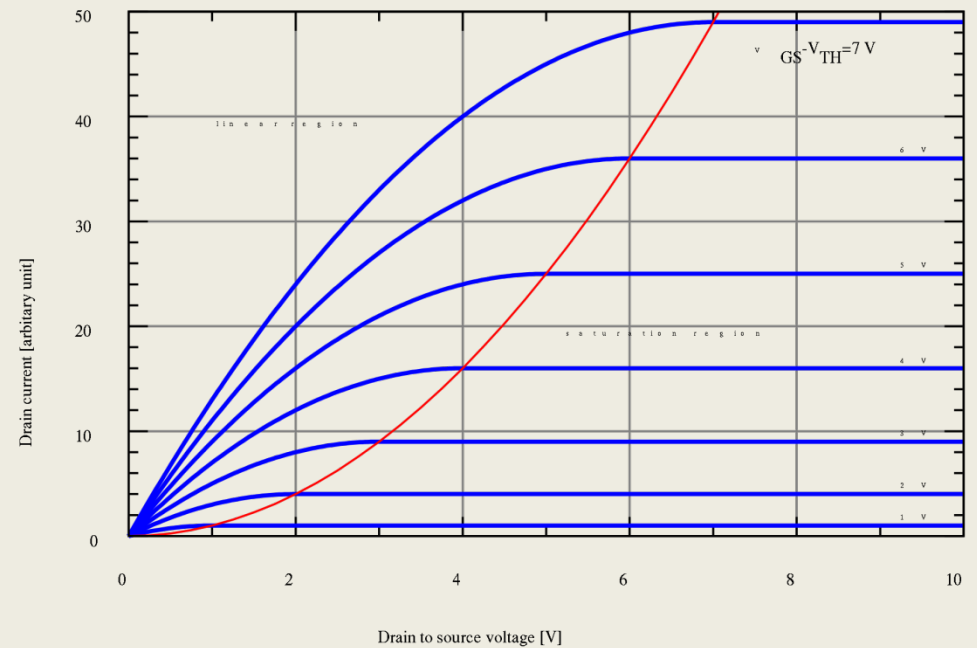
un Pentium Graphène ?



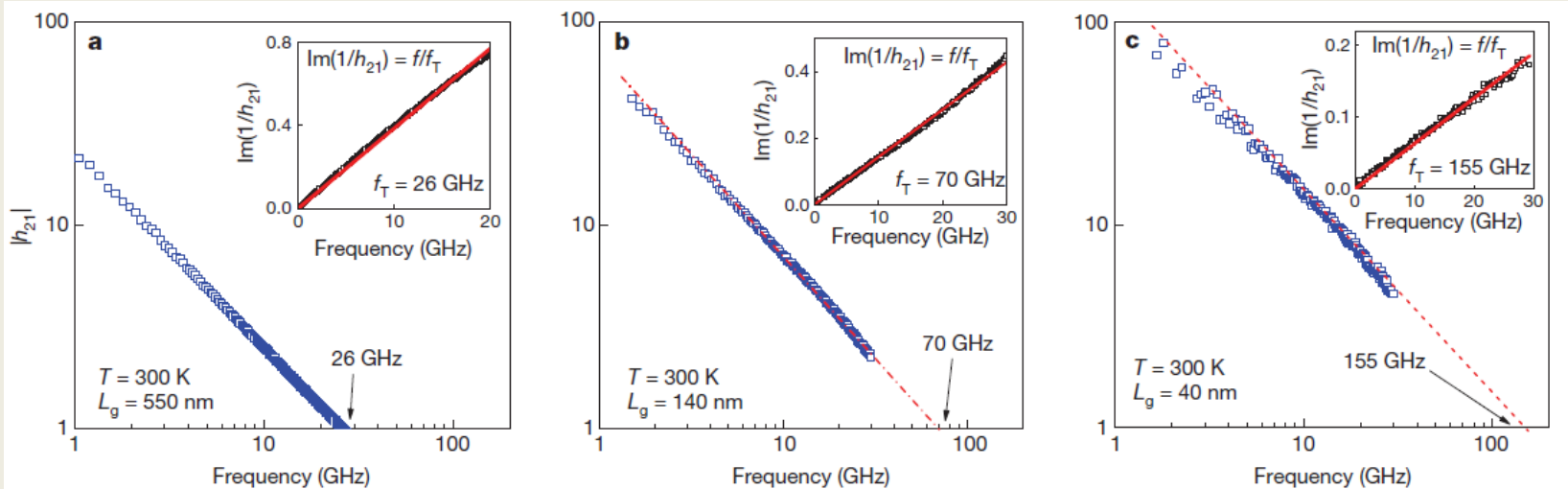
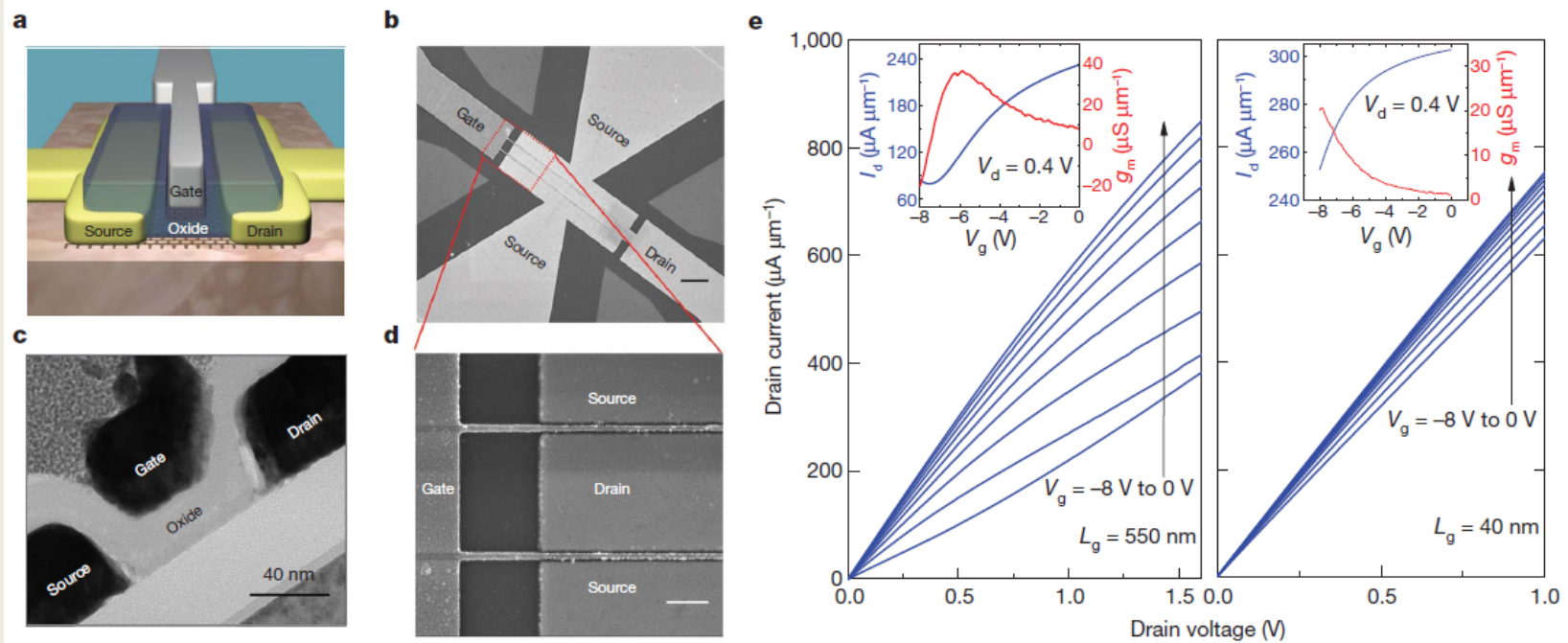
(Pentium 4, INTEL)



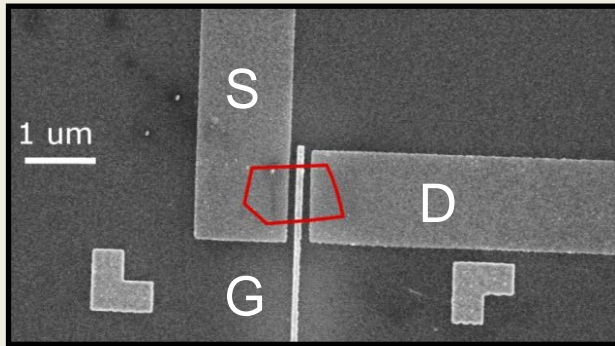
(taken from wikipedia.org)



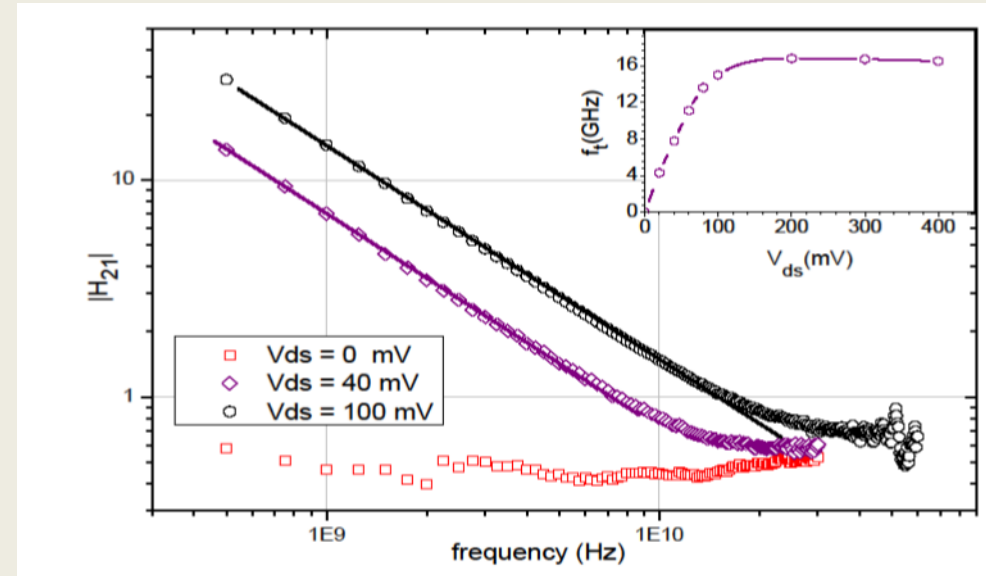
Le FET graphène classique (G-FET)



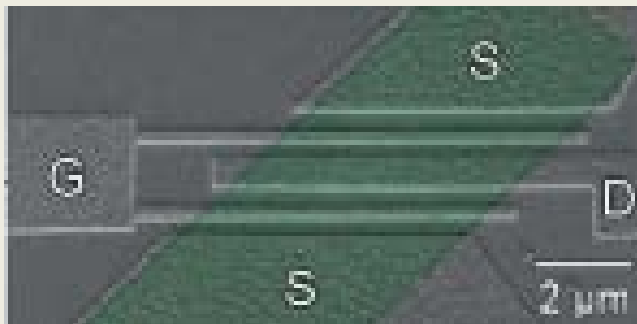
(Wu et al., Nature 2011)



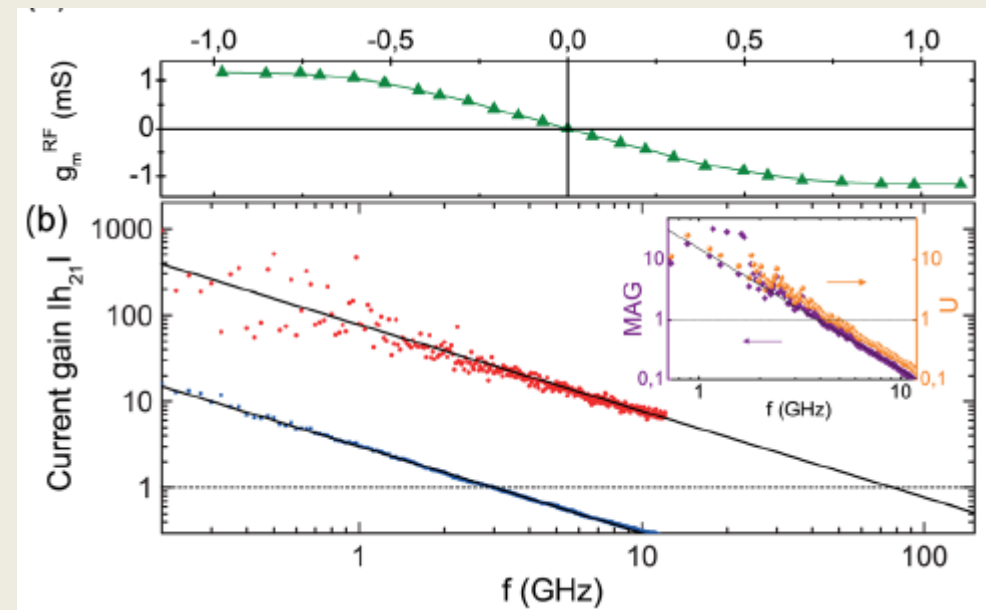
(Pallecchi et al., J. Phys. C 2014)



Exfoliated GR on Sapphire : 80GHz



(Pallecchi et al., APL 2011)



haute mobilité

saturation par les phonons

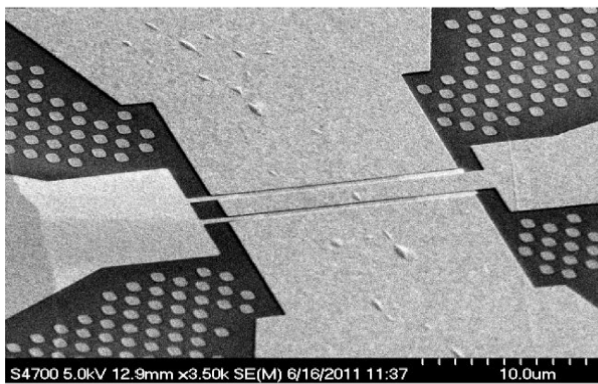
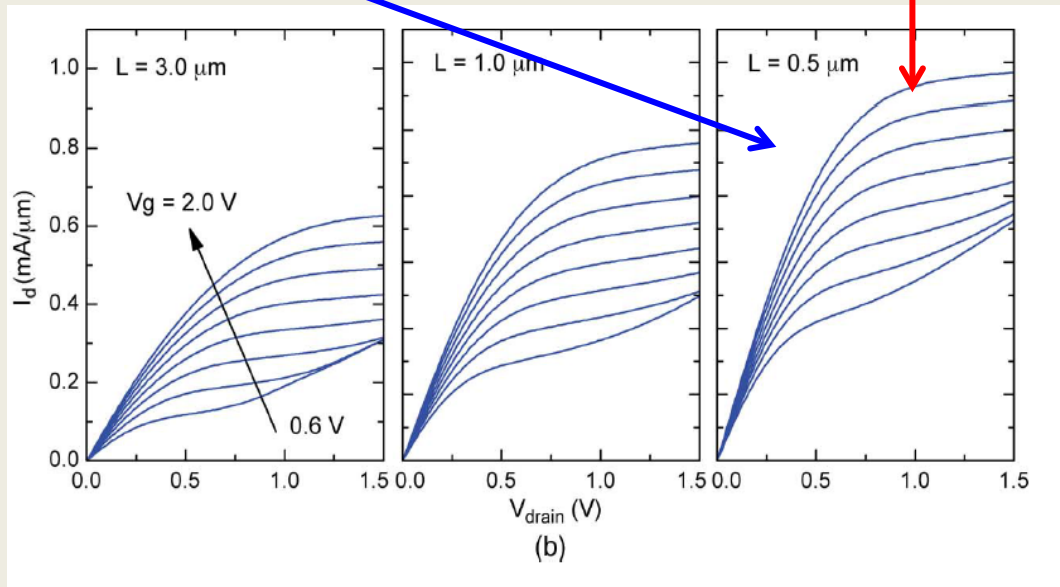
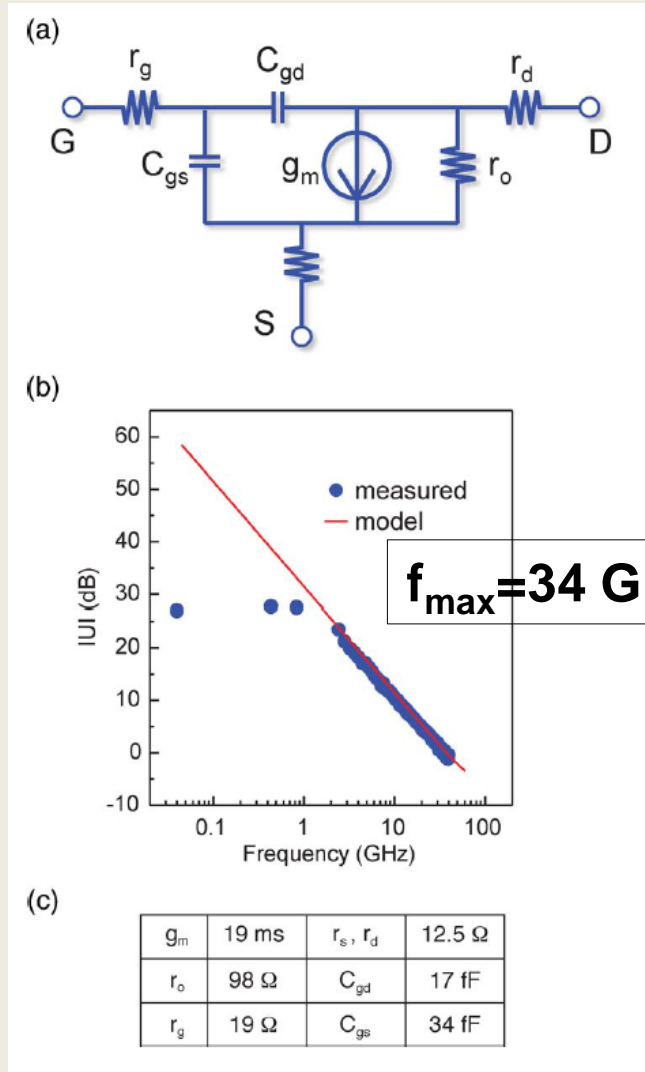
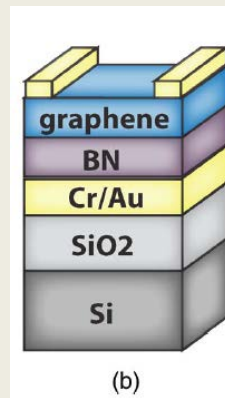
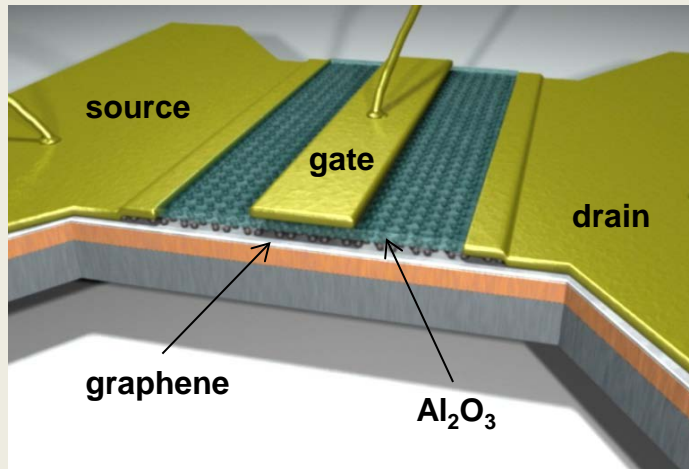
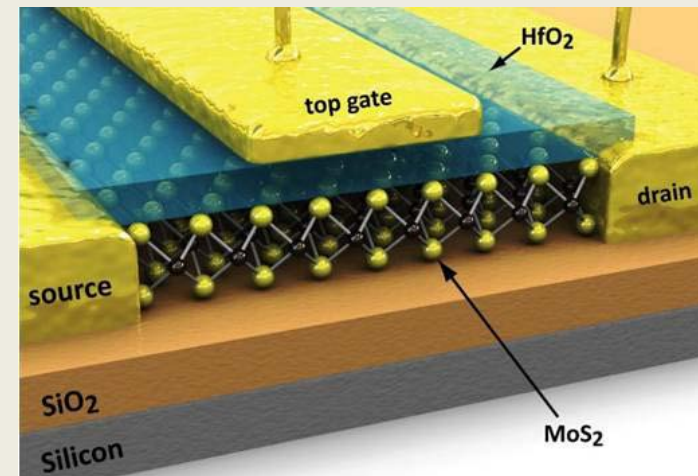


Figure 1. GFET device structure. (a) Schematic illustration of the back-gated GFET device. (b) SEM micrograph of a completed structure.



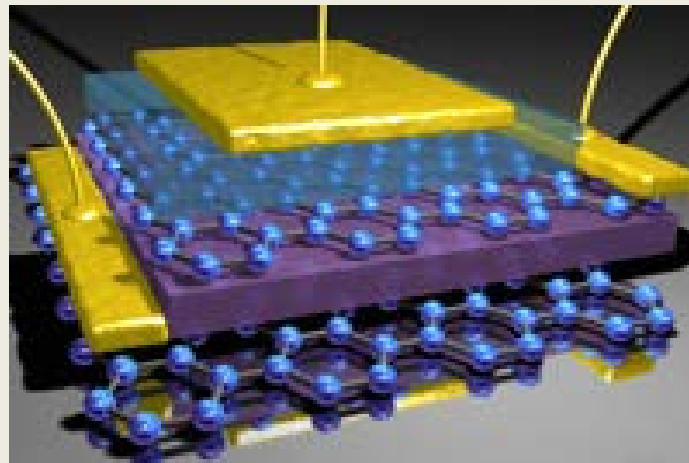


Gr-FET

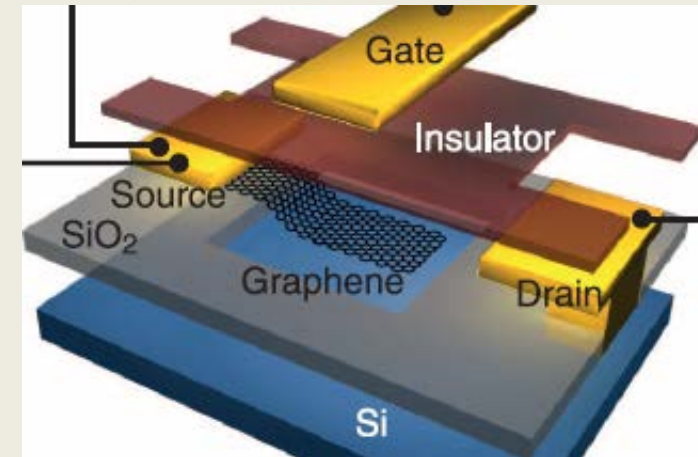


MoS₂-MOSFET

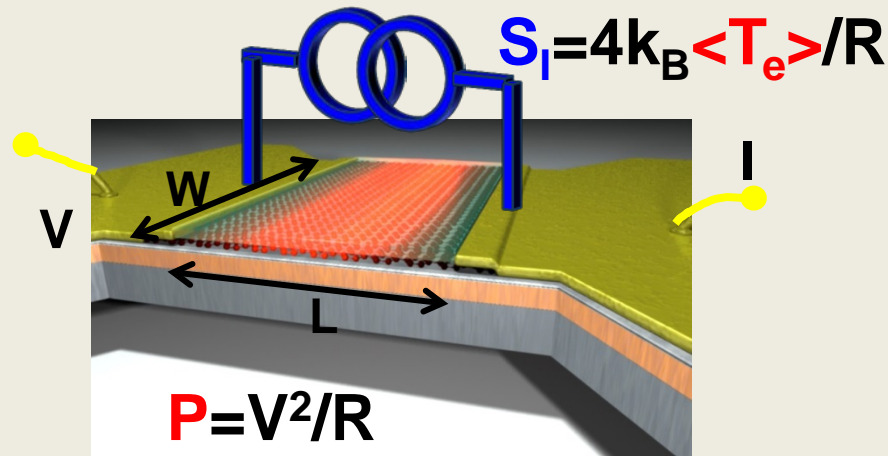
(B. Radisavljevic et al. Nature nano 2011)



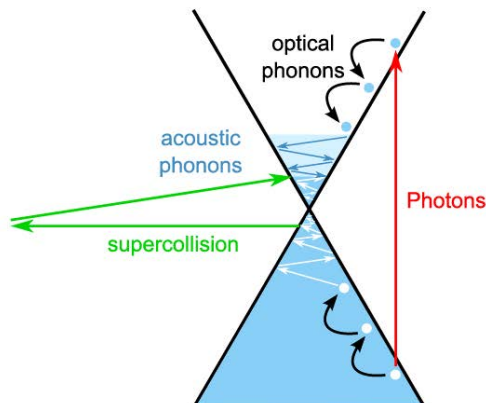
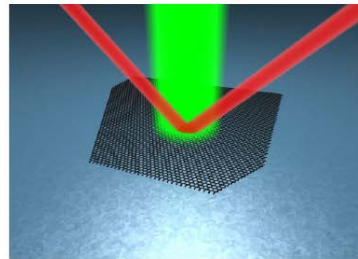
Gr/BN/Gr (Nature 2011) - Tunnel transistor



Gr/Si (Science 2012) - Baristor

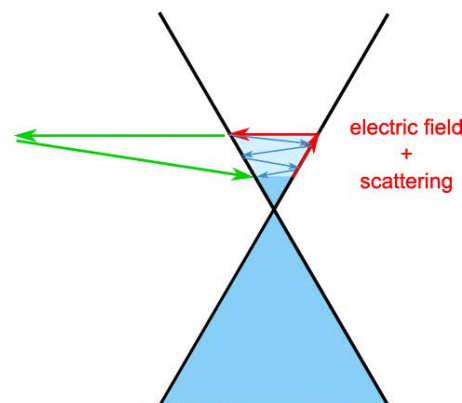
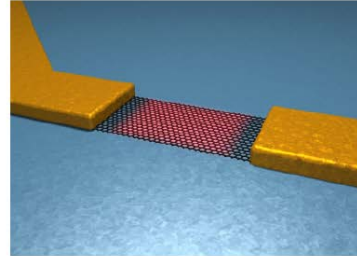


(a) Optical excitation

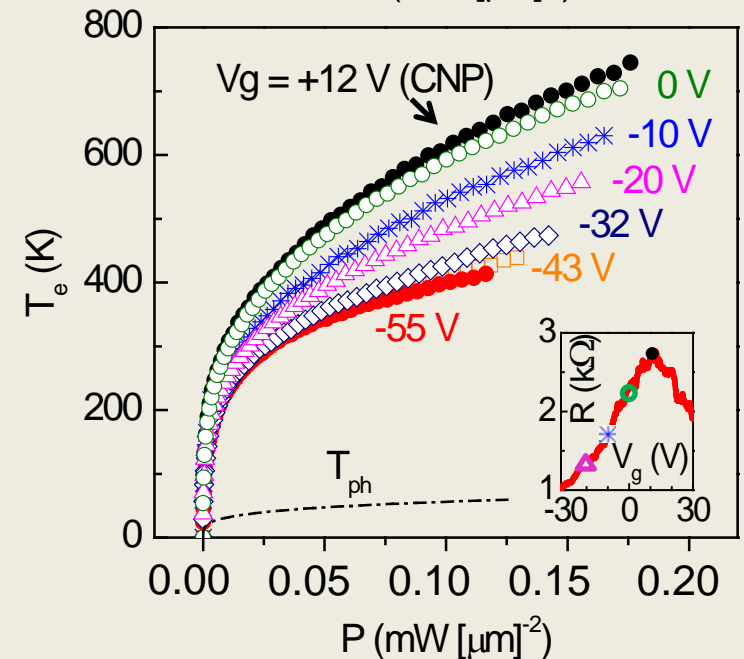
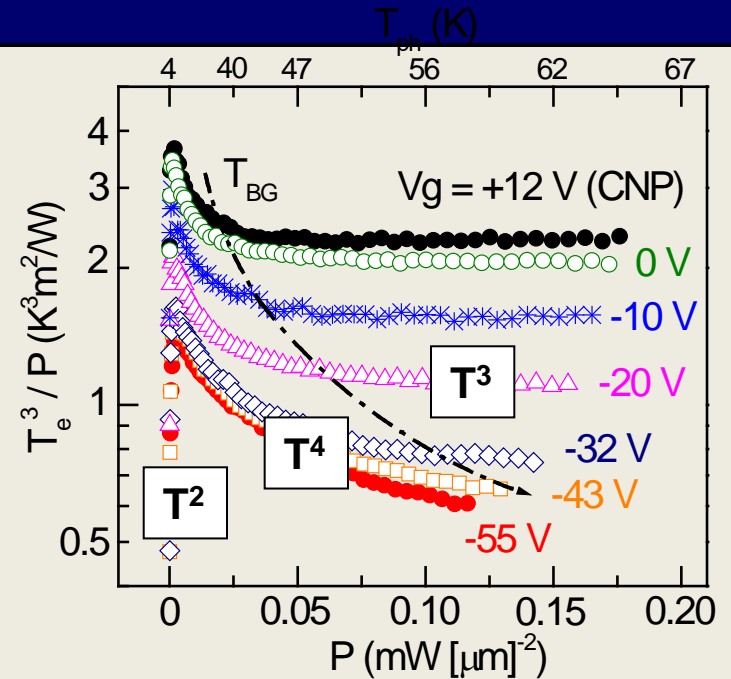


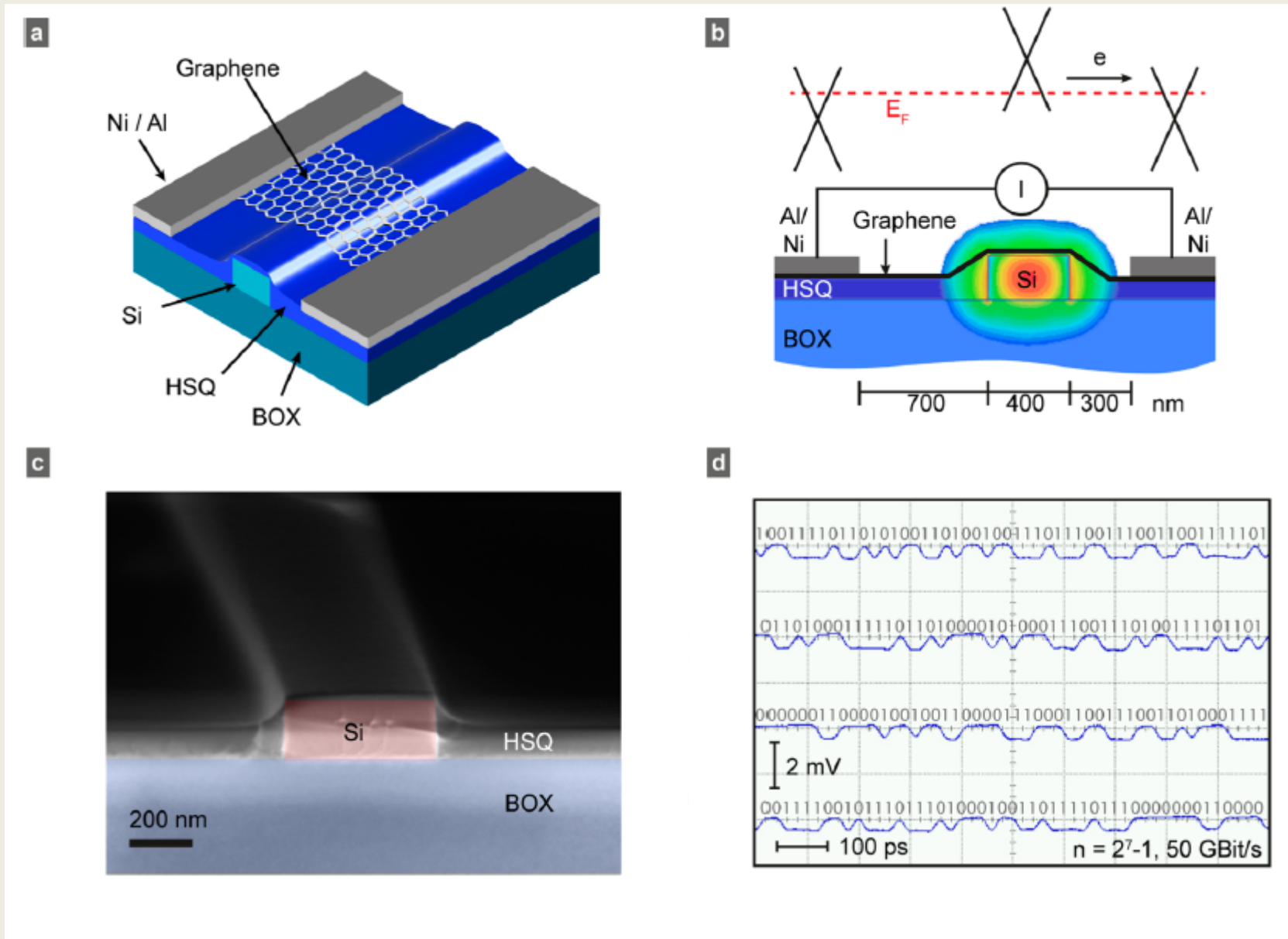
Pump-probe, black body, Raman, photocurrent

(b) Electrical excitation

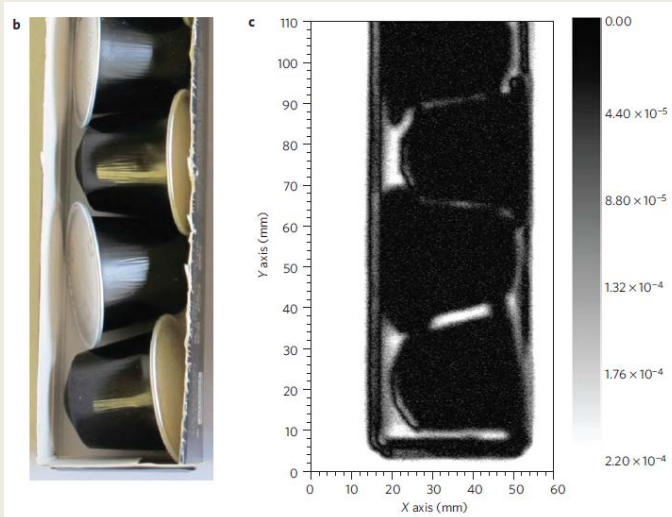
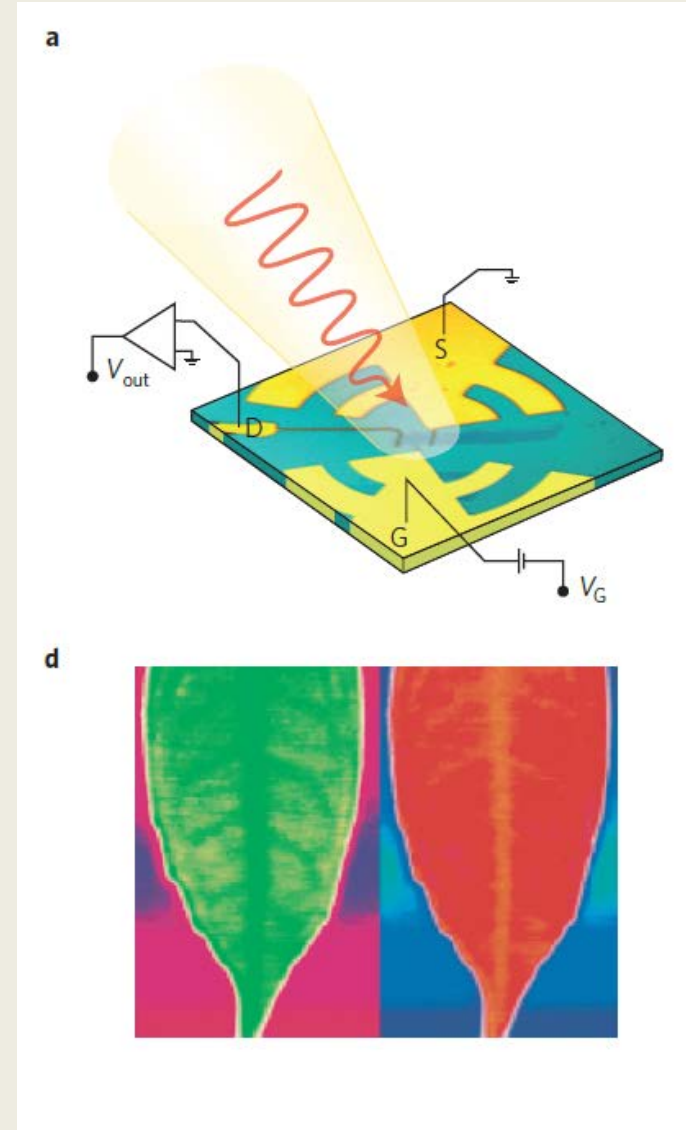
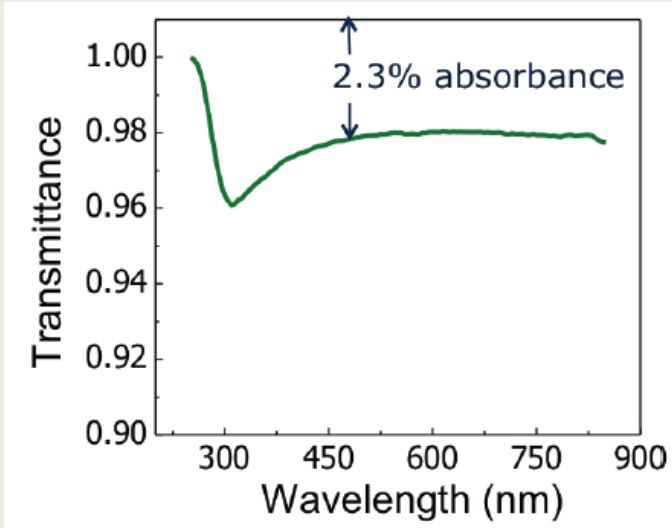


Noise thermometry, tunnel spectroscopy





(Schall et al. ACS photonics 2014)

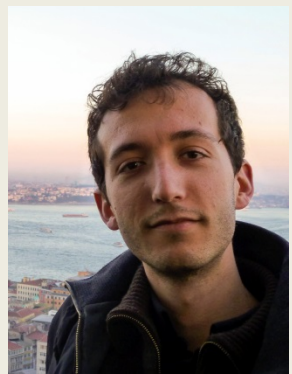


(Vicarelli et al. Nature Material 2012)

- ✓ Graphène pour le nouveau standard de résistance (Schöpfer-LNE)
- ✓ Graphène pour la spintronique (Sénéor-UMPhi-Thalès)
- ✓ Electronique flexible graphène (Happy-IEMN, Derycke-Saclay)

1. Crystal 2D d'épaisseur atomique
2. Le transport dépendent à l'ordre zéro de la symétrie du cristal
3. Fortement accordables par des grilles ou autres actions locales
4. Phénoménologie très riche
5. Applications en électronique et optoélectronique rapides

Mesoscopic physics team



Quentin Wilmart
(PhD student)



Dr. M. Boukhicha
(post-doc)



Michael Rosticher
(opto devices)



Pascal Morfin
(CVD growth)



Jean-Marc Berroir



Gwendal Fève



Bernard Plaçais

Allumni



Andreas Betz
(Hitachi Cambridge)



Sung-Ho Jhang
(Ass.-Prof. Seoul)



Emiliano Pallecchi
(MCF IEMN-Lille)



David Brunel
MCF-UPMC

Optics team



Simon Berthou
(PhD student)



Dr Wei Yang
(post-doc)



Christophe Voisin